

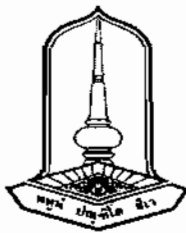
ประสิทชีวภาพเชิงความร้อนของระบบ PV/T - Solar Collector ที่ใช้การไฟฟ้าเวียนแบบ
บังคับและแบบอิสระ

กิตติพลด พินพ์จันทร์
ทวีรุ่ง โสภัณฑ์

เสนอต่อมหาวิทยาลัยมหาสารคาม เพื่อเป็นส่วนหนึ่งของการศึกษาตามหลักสูตร
วิทยาศาสตรบัณฑิต สาขา ฟิสิกส์ประยุกต์

20 ก.ค. 2553

ฉบับที่เป็นของมหาวิทยาลัยมหาสารคาม



Efficiency of PV/T Solar Collector Using the Natural Flow and Force Flow

BY

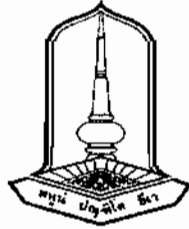
Mr. Kittiphol Phimchan

Mr. Thaweewoot Sopank

**Presented in partial fulfillment of the requirement for
The Bachelor of Science Degree in Applied Physics
At Mahasarakham University**

20 July 2010

All Right Reserved by Mahasarakham University



ประดิษฐ์ภาพเชิงความร้อนของแสง PV/T Solar Collector ที่ใช้การไอลเวียนแบบบังคับและแบบ

อิสระ

กิตติพล พินพันธ์

ทวีวนิ ไสวังค์

รายงานโครงการพิสิกรสำหรับการพิจารณาอนุมัติให้เป็นส่วนหนึ่งของการศึกษาด้าน¹
หลักสูตรปริญญาวิทยาศาสตรบัณฑิต สาขาวิชาพิสิกรประดุจด์

คณะกรรมการสอบ:

ประธานกรรมการ

(รองศาสตราจารย์ ดร.พจน์ พุทธิกภรณ์วิวงศ์)

กรรมการ

(ผู้ช่วยศาสตราจารย์ ดร.พัฒนา มีนา)

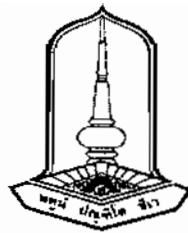
กรรมการ

(อาจารย์ ปรีชา ศรีประภาการ)

กรรมการและอาจารย์ที่ปรึกษา

(อาจารย์ ดร.อนุสรณ์ แสงประจักษ์)

วันที่ 20 เดือน กรกฎาคม พ.ศ. 2553



Efficiency of PV/T Solar Collector Using the Natural Flow and Force Flow .

Kittiphol Phimchan

Thaweewoot Sopank

This project has been approved to be partial fulfillment of requirement for the Bachelor degree of Science in Applied Physics.

Examining Committee:

..... *Thirapote* Chairman

(Assoc. Prof. Thirapote Puthikitakawiwong)

..... *Pattanapol* Member

(Asst.Prof.Dr. Pattanapol Meena)

..... *Preecha* Member

(Mr. Preecha Sriprapakhan)

..... *Arnusorn* Member and Advisor

(Dr. Arnusorn Saengprajak)

Date 20 July 2010

ประกาศคุณภาพ

ปริญญาในพนธน์จะสำเร็จได้ก็ต้องมีความรู้ความสามารถของท่านอาจารย์ ดร. อุบลราช แสงประจักษ์ อาจารย์ที่ปรึกษา ที่ได้ให้ความกรุณาให้คำแนะนำในการทำปริญญานิพนธ์ ตลอดจนให้ความช่วยเหลือแก้ไขปัญหาด่างๆ ในปริญญานิพนธ์นี้ทางคณะผู้จัดทำขอกราบขอบพระคุณเป็นอย่างสูง ไว้ ณ โอกาสนี้ด้วย

ขอบพระคุณอาจารย์ภาควิชาพิสิกส์คณะวิทยาศาสตร์ทุกท่านที่ให้ความรู้ชี้แจงแนะแนวทางที่เป็นประโยชน์คือปริญญานิพนธ์นี้

ขอกราบขอบพระคุณบิดามารดาและกณาจารย์ทุกท่านที่ได้ประสิทธิ์ประสานวิชาความรู้ ค่าจ่าให้คำปรึกษาและช่วยเหลือเรื่องค่าจ่า ตลอดมา จนประสบความสำเร็จข้าพเจ้าและคณะจึงขอบขอบพระคุณทุกท่านที่ได้ให้ความอุปการคุณมา ณ โอกาสนี้ด้วย

กิตติพล พิมพ์อันทร์
ทวีวุฒิ โลภังค์

ชื่อโครงงาน	ประสิทธิภาพเชิงความร้อนของระบบ PV/T - Solar Collector ที่ใช้การ ไอลิเวียนแบบบังคับและแบบธรรมชาติ
ผู้ศึกษาค้นคว้า	นายกิตติพล พินพันธ์ นายทวีภูมิ โสภังค์
อาจารย์ที่ปรึกษา	อาจารย์ ดร.อนุสรณ์ แสงประจักษ์
ปริญญา	วิทยาศาสตรบัณฑิต (วท.บ.) สาขาวิชาฟิสิกส์ประยุกต์ (พลังงาน)
มหาวิทยาลัย	มหาวิทยาลัยมหาสารคาม ปีที่พิมพ์ 2553

บทคัดย่อ

โครงงานพิเศษเรื่อง ประสิทธิภาพเชิงความร้อนของระบบ PV/T - solar Collector ที่ใช้การไอลิเวียนแบบบังคับ(Force flow system :FFS)และแบบอิสระ(Natural flow system:NFS) ได้จัดทำขึ้นเพื่อศึกษาประสิทธิภาพทางความร้อนของระบบทำน้ำอุ่นด้วยระบบ PV/T solar Collector ที่ใช้การไอลิเวียนแบบ FFS และแบบ NFS เมื่อคิดค้างที่มนุษย์ 16 องศา จากการศึกษาพบว่าการใช้แผง PV/T ที่ใช้ระบบไอลิเวียนแบบ FFS มีประสิทธิภาพในการผลิตน้ำอุ่น ได้ดีกว่าระบบแบบ NFS โดยค่าความเข้มรังสีอาทิตย์เฉลี่ยระหว่างการทดสอบมีค่าเท่ากับ 568.68 W/m^2 ซึ่งทำให้ประสิทธิภาพทางความร้อนของแผง PV/T ระบบแบบ FFS และแบบ NFS โดยเฉลี่ยเท่ากับ 21.13% และ 26.38 % ตามลำดับ และประสิทธิภาพทางความร้อนของแผงรับรังสีระบบแบบ FFS และแบบ NFS โดยเฉลี่ยเท่ากับ 59.46 % และ 46.99 % ตามลำดับ พนวณระบบที่ใช้การไอลิเวียนแบบ FFS ส่งผลให้อุณหภูมิของแผง PV มีค่าต่ำกว่าแบบ NFS ถึง 10.54°C และผลิตน้ำร้อนได้อุณหภูมิสูงกว่าถึง 16.89°C

A project Efficiency of PV/T Solar Collector Using the Natural Flow and Force Flow .

The study Kittiphol Phimchan

Thawcewoot Sopank

Adviser Dr. Arunusorn Saengprajak

Degree Bachelor of Science (B.Sc.) in Applied Physics (energy).

University Mahasarakham University Year of Publication 2553.

Abstract

On special projects Thermal efficiency of system PV/T - solar Collector using a forced circulation (Force flow system: FFS) and natural (Natural flow system: NFS) has been prepared to study the efficiency of heated water system. With PV / T solar Collector that flow for FFS and NFS, when installed at angle 16 degrees. the study found that the panel PV / T systems using flow as FFS effective in producing water heated than the NFS system. By the radiation intensity, the average Sunday during the experiment were 568.68 W/m², which allows efficient thermal panel PV / T system, the FFS and NFS average was 21.13% and 26.38% respectively The efficiency of heat panel radiation systems FFS and NFS average was 59.46% and 46.99%, respectively, which shows that system that use flow as FFS affect the temperature of the PV module is 10.54 °C, lower than the NFS and hot water temperature is 16.89 °C higher than the NFS.

สารบัญ

	หน้า
ประกาศคุณปการ.....	๑
บทคัดย่อภาษาไทย.....	๒
บทคัดย่อภาษาอังกฤษ.....	๓
สารบัญ.....	๔
สารบัญตาราง.....	๕
สารบัญภาพประกอบ.....	๖

บทที่

1. บทนำ.....	1
1.1 ความเป็นมาของโครงการ.....	1
1.2 วัตถุประสงค์ของโครงการ.....	2
1.3 ขอบเขตของการศึกษา.....	2
1.4 ประโยชน์ที่คาดว่าจะได้รับ.....	3
1.5 วิธีการดำเนินงานการทำปริญญาในพันธ์.....	3
1.6 สถานที่ทำปริญญาในพันธ์.....	3
2. ทฤษฎีและงานวิจัยที่เกี่ยวข้อง.....	4
2.1 งานวิจัยที่เกี่ยวข้อง.....	4
2.2 ทฤษฎีเบื้องต้นเกี่ยวกับเซลล์แสงอาทิตย์.....	5
2.3 การคำนวณเกี่ยวกับแสงเซลล์แสงอาทิตย์.....	10
2.4 เซลล์แสงอาทิตย์กับอุณหภูมิ และค่าความเห็นรังสีอาทิตย์.....	13
2.5 หลักพื้นฐานทางกายภาพของแสงรับรังสีแสงอาทิตย์.....	16
2.6 โครงสร้างของแสงรับรังสีแสงอาทิตย์ชนิดแผ่นราน.....	17
2.7 การคำนวณเกี่ยวกับแสงเซลล์แสงอาทิตย์.....	18
3. วิธีการดำเนินงาน.....	20
3.1 วิธีการดำเนินงาน.....	20
3.2 การปรับปรุงระบบ.....	20
3.3 วิธีการทดลอง.....	22
3.4 การเปรียบเทียบค่าสายเทอร์โนคปเปิลกับเทอร์โนมิเตอร์.....	27

สารบัญ	
บทที่	หน้า
4. ผลการดำเนินงาน.....	29
4.1 ผลการดำเนินงาน.....	29
4.2 ความเข้มรังสีอาชีวศึกษา.....	29
4.3 อุณหภูมิของแมงเซลล์แสงอาทิตย์.....	30
4.4 อุณหภูมิแห่งรับรังสีอาทิตย์.....	32
4.5 อุณหภูมน้ำในถังเก็บ.....	35
4.6 ประสิทธิภาพทางความร้อนของระบบ.....	37
5. สรุปผลการทดลอง.....	39
5.1 สรุปผลดำเนินงาน.....	39
5.2 ข้อเสนอแนะ.....	40
บรรณานุกรม.....	41
ภาคผนวก.....	43
ภาคผนวก ก ตัวอย่างการคำนวณ.....	43
ภาคผนวก ข ข้อมูลผลการทดลอง.....	46
ภาคผนวก ค ภาพประกอบการดำเนินงาน.....	56
ประวัติผู้วิจัย.....	61

สารบัญตาราง

	หน้า
ตารางที่ 2.1: ตัวแปรทางไฟฟ้าของเซลล์แสงอาทิตย์.....	13
ตารางที่ 3.1 ค่าการเปรียบเทียบระหว่างเทอร์โนมิคัปเปิลกับเทอร์โนมิเตอร์นี.....	27
ตารางที่ 4.1: อุณหภูมน้ำเข้า น้ำออกและอุณหภูมิแห้งเซลล์รังสีอาทิตย์.....	30
ตารางที่ 4.2: อุณหภูมน้ำเข้า น้ำออกและอุณหภูมิแห้งรับรังสีอาทิตย์.....	33
ตารางที่ 4.3: อุณหภูมน้ำในถังเก็บ.....	35
ตารางที่ 4.4: ประสิทธิภาพการทำความร้อนของระบบ PV/T.....	37

สารบัญภาพประกอบ

หน้า

ภาพประกอบที่ 2.1: ข้อมูลที่เกี่ยวกับความไวต่อแสงในการเกิดประจุของเซลล์แสงอาทิตย์	
แบบ Amorphous Silicon (a-Si) และ Crystalline Silicon (C-Si).....	6
ภาพประกอบที่ 2.2: ลักษณะของเซลล์แสงอาทิตย์ชนิดผลึกเดียว.....	7
ภาพประกอบที่ 2.3: โครงสร้างของเซลล์แสงอาทิตย์.....	8
ภาพประกอบที่ 2.4: ส่วนประกอบของเซลล์แสงอาทิตย์.....	9
ภาพประกอบที่ 2.5: กราฟแสดงความสัมพันธ์ระหว่าง กระแส แรงดันและกำลังไฟฟ้า	
ของเซลล์แสงอาทิตย์ ที่จุด MPP.....	12
ภาพประกอบที่ 2.6: กราฟแสดงความสัมพันธ์ระหว่างความเข้มรังสีอาทิตย์ที่มีผล	
ต่อ กระแส และ แรงดันไฟฟ้าของเซลล์แสงอาทิตย์.....	14
ภาพประกอบที่ 2.7: กราฟแสดงคุณสมบัติของกระแสและแรงดันไฟฟ้าเมื่ออุณหภูมิเพิ่มขึ้น	15
ภาพประกอบที่ 2.8: ระบบเครื่องทำน้ำร้อนพลังงานแสงอาทิตย์แบบ PV/T Solar collector...	18
ภาพประกอบที่ 3.1: แผง PV/T ใช้น้ำวีянรับความร้อน.....	21
ภาพประกอบที่ 3.2: ถังเก็บน้ำร้อน.....	21
ภาพประกอบที่ 3.3 : การวัดค่าด้วยแปรงค่าฯ ระหว่างการทดลอง.....	23
ภาพประกอบที่ 3.4 : สภาพห้องพื้นและบริเวณที่ทำการทดลอง.....	24
ภาพประกอบที่ 3.5 : เครื่องบันทึกข้อมูล Agilent data logger.....	24
ภาพประกอบที่ 3.6 : ชุดคอมพิวเตอร์เพื่อจัดการและบันทึกข้อมูล.....	25
ภาพประกอบที่ 3.7: สายเทอร์โมกัปเปิล.....	25
ภาพประกอบที่ 3.8: เครื่องวัดกระแสไฟฟ้า.....	26
ภาพประกอบที่ 3.9: เครื่องวัดแรงดันไฟฟ้า HP multimeter model 973A.....	26
ภาพประกอบที่ 3.10: ภาพการวัดความคลาดเคลื่อนอุปกรณ์.....	28
ภาพประกอบที่ 4.1: กราฟแสดงค่าความเข้มรังสีอาทิตย์ระหว่างวันที่ทำการทดลอง.....	29
ภาพประกอบที่ 4.2: กราฟแสดงความสัมพันธ์ระหว่าง T_{PV} กับ $T_{in,pv}$ และ $T_{out,pv}$ ของระบบ	
บังคับ.....	30

สารบัญภาพประกอบ(ต่อ)

หน้า

ภาพประกอบที่ 4.3: กราฟแสดงความสัมพันธ์ระหว่าง T_{pv} กับ $T_{in,pv}$ และ $T_{out,pv}$ ของระบบธรรมชาติ.....	31
ภาพประกอบที่ 4.4: กราฟเปรียบเทียบอุณหภูมิเฉลี่ยแมงเซลล์แสงอาทิตย์ระหว่างแบบบังคับ และ แบบธรรมชาติ.....	31
ภาพประกอบที่ 4.5: กราฟเปรียบเทียบอุณหภูมิเฉลี่ยแมงเซลล์แสงอาทิตย์ระหว่างที่ใช้การ ไอลวีชันแบบ FFS และแบบ NFS.....	32
ภาพประกอบที่ 4.6: กราฟแสดงความสัมพันธ์ระหว่าง $T_{air,col}$ กับ $T_{in,col}$ และ $T_{out,col}$ ของระบบบังคับ.....	33
ภาพประกอบที่ 4.7: กราฟแสดงความสัมพันธ์ระหว่าง $T_{air,col}$ กับ $T_{in,col}$ และ $T_{out,col}$ ของระบบธรรมชาติ.....	33
ภาพประกอบที่ 4.8: กราฟเปรียบเทียบอุณหภูมิเฉลี่ยภายในแผงรับรังสีระหว่างแบบบังคับ และแบบธรรมชาติ.....	34
ภาพประกอบที่ 4.9: กราฟเปรียบเทียบอุณหภูมิเฉลี่ยภายในแผงรับรังสีระหว่างที่ใช้การ ไอลวีชันแบบ FFS และแบบ NFS.....	35
ภาพประกอบที่ 4.10: กราฟแสดงการเปรียบอุณหภูมิในถังของทั้ง 2 ระบบ.....	36
ภาพประกอบที่ 4.11: กราฟแท่งแสดงการเปรียบอุณหภูมิในถังที่ใช้การไอลวีชันแบบ FFS และแบบ NFS.....	36
ภาพประกอบที่ 4.12: กราฟแสดงประสิทธิภาพทางความร้อนของแผง PV/T.....	37
ภาพประกอบที่ 4.13: กราฟแสดงประสิทธิภาพทางความร้อนของแผงรับรังสี.....	38

บทที่ 1

บทนำ

1.1 หลักการและเหตุผล

ในปัจจุบัน โลกเรานิการเพิ่มจำนวนประชากรและมีการพัฒนาด้านเทคโนโลยีไปอย่างรวดเร็วทำให้มีความต้องการด้านพลังงานเพิ่มมากขึ้น ในขณะเดียวกันพลังงานจากทรัพยากรธรรมชาติด้านพลังงานก็กำลังจะหมดไปจึงได้มีแนวคิดเกี่ยวกับพลังงานทดแทนเพื่อนำพลังงานจากแหล่งอื่น ๆ มาใช้แทนพลังงานจากแหล่งฟอสซิล ได้แก่ พลังงานจากลม ความร้อนจากไฟฟิก พลังงานน้ำ พลังงานแสงอาทิตย์เป็นต้น ซึ่งพลังงานที่ได้เป็นพลังงานสะอาดปลอดภัยและเป็นพลังงานที่ได้มาจากการธรรมชาติ

การนำเอาพลังงานแสงอาทิตย์มาใช้ประโยชน์ ในปัจจุบันเป็นไปอย่างแพร่หลาย ไม่ว่าในรูปของการผลิตไฟฟ้าหรือความร้อน ในการเปลี่ยนพลังงานแสงอาทิตย์เป็นไฟฟ้าโดยตรงนั้น โดยส่วนมากนิยมใช้แผงเซลล์แสงอาทิตย์ แต่การใช้อุปกรณ์ดังกล่าวซึ่งคงมีปัญหาในด้านประสิทธิภาพในการเปลี่ยนรูปพลังงานที่ยังค่อนข้างต่ำ พลังงานแสงอาทิตย์ที่ถูกลงบนแผงสูญเสียไปในรูปความร้อนซึ่งเปล่าประโยชน์ ดังนั้นจึงได้มีแนวคิดของแผงผลิตไฟฟ้าและความร้อนร่วม (Photovoltaic/Thermal, PV/T) ขึ้นมาเพื่อนำเอาความร้อนที่สะสมบนแผงเซลล์แสงอาทิตย์มาใช้ประโยชน์ ทำให้การใช้ประโยชน์จากแผง PV เดิมประสิทธิภาพมากขึ้น

โดยการศึกษานี้ ได้พัฒนาระบบการผลิตน้ำร้อนด้วยพลังงานแสงอาทิตย์ โดยใช้ระบบผลิตน้ำร้อนด้วยแผงรับรังสีอาทิตย์ (Solar collector) และ PV/T ซึ่งการทำงานของระบบดังกล่าวจะผลิตทั้งไฟฟ้าและความร้อนร่วมกันและโดยไฟฟ้าที่ได้จากแผง PV จะนำไปใช้บังคับอัตราการไหลของน้ำ โดยน้ำจะไหลเวียนผ่านแผง PV/T ก่อนเพื่อรับความร้อนชั้นที่หนึ่ง จากนั้นก็จะไหลเวียนเข้าสู่แผงรับรังสีอาทิตย์ เพื่อรับความร้อนชั้นที่สอง ก่อนจะเข้าสู่ถังเก็บน้ำร้อน ลักษณะการทำงานดังกล่าว เป็นการใช้ประโยชน์จากแผงเซลล์แสงอาทิตย์ได้เดิมที่มากขึ้น เพราะนอกจากนี้จากระบบผลิตไฟฟ้าแล้ว ยังสามารถใช้ผลิตน้ำร้อนได้อีกด้วย งานวิจัยนี้ บุกทำการศึกษาสภาพของระบบไฟฟ้าและความร้อนด้วยรวมทั้งศึกษาถึงผลกระทบทางด้านประสิทธิภาพทางไฟฟ้าของแผงเซลล์แสงอาทิตย์ระหว่างการใช้งานของระบบดังกล่าวและยังศึกษาอัตราการไหลที่มีผลการผลิตความร้อนด้วย โดยผลที่ได้จากการศึกษา คาดว่าจะมีประโยชน์ต่อการใช้แผง PV/T แบบผสมผสานในประเทศไทยเป็นการกระตุ้นการค้นคว้า วิจัยและพัฒนาระบบทางด้านพลังงานทดแทนในประเทศไทย และนำมาซึ่งการนำเอาทรัพยากรพลังงานทดแทนในประเทศไทย โดยเฉพาะอย่างยิ่งพลังงาน

แสงอาทิตย์ มาใช้ประโยชน์ในชีวิตประจำวัน ได้เดินประสิทธิภาพมากขึ้น ลดการพึ่งพาการใช้พลังงานไฟฟ้าจากแหล่งฟอสซิลเป็นการร่วมอนุรักษ์สิ่งแวดล้อมอีกด้วยหนึ่งด้วย

1.2 วัตถุประสงค์

งานวิจัยนี้ เกี่ยวข้องกับประสิทธิภาพเชิงความร้อนของระบบ PV/T - Solar collector ที่ใช้ระบบไอลเวียนแบบ FFS และแบบ NFS โดยมีวัตถุประสงค์ของการวิจัยดังนี้

1.2.1 เพื่อออกรหัสการระบบ PV/T - Solar collector ที่ใช้ระบบไอลเวียนแบบ FFS และแบบ NFS ในการผลิตน้ำร้อน

1.2.2 เพื่อศึกษาเปรียบเทียบรูปแบบการไอลเวียนของน้ำแบบ FFS และแบบ NFS ว่ามีผลต่อศักยภาพในการผลิตน้ำร้อน

1.2.3 เพื่อศึกษาว่ารูปแบบการไอลเวียนของน้ำแบบ FFS และแบบ NFS มีผลต่อการเพิ่มน้ำหรือลดลงของอุณหภูมิแห่งรับรังสีอาทิตย์และแห่ง PV/T

1.2.4 เพื่อศึกษาว่ารูปแบบการไอลเวียนของน้ำแบบ FFS และแบบ NFS มีผลต่อประสิทธิภาพเชิงความร้อนของแห่งรับรังสีแห่ง PV/T และประสิทธิภาพรวมของระบบ

1.3 ขอบเขตของการศึกษา

1.3.1 เรื่องไขของอุณหภูมิแห่งล้อ ในสภาวะปกติ

1.3.2 ศึกษาแห่งรับรังสีอาทิตย์แบบที่ต่อแบบบนนาทีเท่านั้น

1.3.2 แห่งเซลล์แสงอาทิตย์ ขนาด $0.45 \text{ เมตร} \times 0.98 \text{ เมตร}$ เป็นแบบหลังเดียว ชิลิกอน 50 วัตต์

1.3.3 ขนาดของแห่งรับรังสีอาทิตย์ $0.67 \text{ เมตร} \times 0.98 \text{ เมตร}$

1.3.4 ใช้ห้องทดลองขนาดเด่นผ่านศูนย์กลาง 0.009 เมตร

1.3.5 ทำการปรับนุ่มนิ่งของแห่งที่ 16°

1.3.6 ศึกษาผลความสัมพันธ์ระหว่างอุณหภูมิเดลต้าจุดพิจารณาจากค่าความเข้มรังสีของดวงอาทิตย์ในแต่ละช่วงเวลาต่อการเปลี่ยนแปลงค่าอุณหภูมิในแต่ละชุด

1.3.7 ใช้ปืนน้ำกระสตรอง ในการควบคุมอัตราการไอลของน้ำแบบ FFS

1.3.8 ศึกษาเฉพาะประสิทธิภาพเชิงความร้อนของระบบเท่านั้น

1.4 ประโยชน์ที่คาดว่าจะได้รับ

- 1.4.1 มีความรู้ความเข้าใจเกี่ยวกับการออกแบบระบบการทำงานและการติดตั้งของแผง PV/T ที่ใช้ระบบไฮโลเวียนแบบบังคับและแบบธรรมชาติ
- 1.4.2 ได้ประสิทธิภาพของระบบที่ดีขึ้น
- 1.4.3 เป็นการสร้างองค์ความรู้เกี่ยวกับการประยุกต์ใช้เทคนิค PV/T
- 1.4.4 ใช้พลังงานทดแทนให้เกิดประโยชน์และมีประสิทธิภาพ รวมทั้งอนุรักษ์พลังงาน และสิ่งแวดล้อมโดยไม่มีมลภาวะ
- 1.4.5 เป็นแนวทางในการพัฒนาทักษะด้านพลังงานในประเทศอื่นๆ

1.5 วิธีการดำเนินงานการทำปริญญา呢พนธ์

- 1.5.1 ศึกษางานวิจัยที่เกี่ยวข้อง
- 1.5.2 ออกแบบการทำงานของระบบ
- 1.5.3 ปรับปรุงระบบแพลตฟอร์มและความร้อนร่วมของเครื่องทำน้ำร้อนพลังงานแสงอาทิตย์
- 1.5.4 เปรียบเทียบประสิทธิภาพทางความร้อนจาก 2 ระบบที่ได้ทำการศึกษา
- 1.5.5 สรุปผล
- 1.5.6 จัดทำรูปเล่นรายงานฉบับสมบูรณ์

1.6 สถานที่ทำปริญญา呢พนธ์

ภาควิชาฟิสิกส์ คณะวิทยาศาสตร์ มหาวิทยาลัยมหาสารคาม

บทที่ 2

เอกสารและงานวิจัยที่เกี่ยวข้อง

2.1 เอกสารและงานวิจัยที่เกี่ยวข้อง

ในการทำงานของแผงเซลล์แสงอาทิตย์นั้น เมื่อแสงอาทิตย์ตกกระทบลงบนแผงเซลล์ แสงอาทิตย์เพียงส่วนหนึ่งเท่านั้นที่ถูกเปลี่ยนไปเป็นพลังงานไฟฟ้า ส่วนที่เหลือจะกลายเป็น พลังงานความร้อนที่เกิดขึ้นที่แผงเซลล์แสงอาทิตย์ อันเป็นผลทำให้ประสิทธิภาพของแผงเซลล์ แสงอาทิตย์ค่าลง ดังนั้น การทำการระบายน้ำความร้อนที่เกิดขึ้นบนแผงเซลล์แสงอาทิตย์ จึงมีส่วนช่วย ทำให้ประสิทธิภาพการทำงานของแผงเซลล์แสงอาทิตย์ ลดลง ในการน้ำความร้อนออกมานี้ เป็นเทคนิคที่ จะใช้ของไอล ไอลผ่านแผงเซลล์แสงอาทิตย์ และก่อการแตกเปลี่ยนความร้อนจากแผงเซลล์ แสงอาทิตย์ให้กับของไอล และไอลที่มีอุณหภูมิสูงขึ้นออกมานี้ ซึ่งสามารถนำเอาไปใช้ใน กระบวนการทางความร้อนอื่นๆ ได้ด่อไป

ลักษณะที่ใช้แผงเซลล์แสงอาทิตย์ที่ใช้ในการผลิตความร้อนและไฟฟ้าร่วมกันดังกล่าว เริ่ยกว่าแผงผลิตไฟฟ้าและความร้อนร่วม หรือ PV/T ของเหลวส่วนใหญ่ที่ใช้เป็นตัวกลางระหว่าง ความร้อนได้แก่ น้ำและอากาศ ซึ่ง Prakash ได้ทำการศึกษาเบรินเพียบประสิทธิภาพของ PV/T ที่ ใช้อากาศ และน้ำเป็นตัวกลาง (Prakash, 1994) พบว่า ตัวกลางในการน้ำความร้อนที่เป็นน้ำ จะมี ประสิทธิภาพดีกว่าอากาศ และกรณีของไอลที่เป็นตัวกลางคือ อากาศ ก็จะเรียกแผงดังกล่าวว่า PVT/Air solar collector อย่างไรก็ได้ในทางปฏิบัติ (การใช้งานจริง) PVT/Air ได้รับความนิยม มากกว่าแบบอื่น เมื่อจากมูลค่าของระบบและค่าใช้จ่ายในการดูแลรักษาต่ำกว่า

หลักการทำงานของ PV/T นี้ ได้ถูกคิดค้นมา กว่า 30 ปีมาแล้ว โดย Florschuetz ได้ปรับปรุง สมการของ Whillier-Bliss เพื่อทำแบบจำลองการทำงานของแผง PV/T (Florschuetz, 1979) และ Raghuraman ได้คิดค้นแบบจำลองการทำงานของแผง PV/T ขึ้นมา ซึ่งอธิบายถึงความสัมพันธ์ ระหว่าง ประสิทธิภาพของเซลล์แสงอาทิตย์ และอุณหภูมิของแผงเซลล์แสงอาทิตย์ เมื่อใช้น้ำและ อากาศเป็นสารทำงาน (Raghuraman, 1981)

Jones และ Underwood (2001) ได้ทำการศึกษาระดับชั้นความร้อนของอุณหภูมิของแผง เซลล์แสงอาทิตย์ ในสภาพเงื่อนไขที่ไม่คงที่ โดยคำนึงถึงเวลา พวกเขายังได้ทำการทดลองสำหรับ สภาพเงื่อนไขวันที่มีเมฆมากและวันที่ท้องฟ้าโปร่งใส พวกเขางัดเกตเห็นว่าอุณหภูมิของแผงเซลล์ แสงอาทิตย์เดียวกัน ในระยะ $27 - 52^{\circ}\text{C}$ สำหรับอุณหภูมิเวลาล้อมประมาณ 24.5°C สาเหตุ หลักๆ สำหรับการลดลงของประสิทธิภาพไฟฟ้าของแผงเซลล์แสงอาทิตย์ คือปัจจัยของแผงเซลล์ แสงอาทิตย์ ที่สูญเสียความค้านทานระหว่างเซลล์ติดต่อกัน 2 เซลล์ และอุณหภูมิของแผงเซลล์

แสงอาทิตย์ดังกล่าว ประสิทธิภาพทางไฟฟ้าโดยรวมจากแผงเซลล์แสงอาทิตย์สามารถเพิ่มขึ้นได้ ด้วยการเพิ่มค่า PF (การจัด) และการลดอุณหภูมิของแผงเซลล์แสงอาทิตย์

Chow และคณะ (2006) ได้มีการสรุปว่าด้วยรับรังสีโดยท่อในแผ่นโลหะบางที่มีการกรอบกระจองข้างเดียว ถือว่าเป็นการออกแบบที่เป็นประਯชน์มากที่สุด เนื่องจากสามารถรับรังสีที่ส่องทางส่วนของด้านที่ไม่ได้รับรังสีที่เป็นแผ่นโลหะบางโดยแพลงเชลล์แสงอาทิตย์จะได้ความร้อนอุ่นมาและไฟฟ้าที่ได้ออกมาติดกับ จากระบบการท่าน้ำร้อน PV/T เนื่องจากสามารถคืนพันของหัวเขียนพื้นฐานของการจำลองในอาคาร ดังนั้นนั้นจึงเป็นการเพิ่มประสิทธิภาพของระบบ PV/T จากการดึงพลังงานที่สูญเสียกลับมาใช้ ซึ่งความสามารถของการแปลงพลังงานดังกล่าว อย่างไรก็ตาม ได้ด้วยปรากฏการณ์เรือนกระจก (Greenhouse Effect) ในสมัยที่ประเทศไทยมีหน้าโน้มสำหรับปลูกพืช เมื่อร้อนบางช่วงได้ มีการสร้างห้องกระจกปิด สำหรับรับแสงอาทิตย์ เพื่อปลูกกล้ามีดังกล่าว กระจกจะสะท้อนร่องรอยการพากความร้อนโดยลมหรืออากาศบนเรือนกระจก ทำให้เทบจะไม่สูญเสียความร้อนของจากเรือนกระจก ในขณะที่รังสีจากดวงอาทิตย์ผ่านกระจกไปได้คลอดทั้งวัน ดังนั้นจึงเกิดสภาพภาวะสะสมความร้อนภายในเรือนกระจก ต่อมาในปี ก.ศ. 1769 ชาฟรังเศซชื่อ Da Saussure เป็นคนแรกที่ตัดแปลงปรากฏการณ์เรือนกระจก มาสร้างอุปกรณ์เก็บรวมความร้อนได้โดยใช้กล่องกระจกใส 5 กล่อง ซ่อนกันเป็น 1 กล่อง ซึ่งสามารถเก็บความร้อนได้อยู่หมูนิถึง 160°C ที่ก่อตั้งในสุด ในปี ก.ศ. 1837 ที่แอฟริกาได้ Sir John Herschel ได้ใช้แผ่นกระจก 2 แผ่นวางบนทรายทำให้ได้อยู่หมูนิสูง 120°C สำหรับ ดันไข่ ดันเนื้อ ซึ่งถือเป็นครั้งแรกในการใช้อุปกรณ์เก็บพลังงานความร้อนจากพัฒนาการแสงอาทิตย์

T.T. Chow และคณะ (Chow et al., 2007) ได้ทำการศึกษาสมรรถนะของแผน PV/T ที่ใช้น้ำเป็นตัวนำความร้อน โดยให้เกิดการไหลเวียนของความร้อนชาติในการศึกษาดังกล่าวได้สร้างแบบจำลองเพื่อประเมินการทำงานและหาปริมาณพลังงานที่ได้จากแผนดังกล่าว รวมทั้งใช้ในการหาจุดกึ่นทุนด้วย จากการศึกษาพบว่าแผน PV/T มีจุดกึ่นทุนอยู่ที่ 12 ปี เร็วกว่าแผน PV ธรรมดา

2.2 ຖញ្ញីបៀនុងគុណភាពរវាងការងារខ្លួន

2.2.1 ความหมายของ เซลล์แสงอาทิตย์ (Solar Cell หรือ PV)

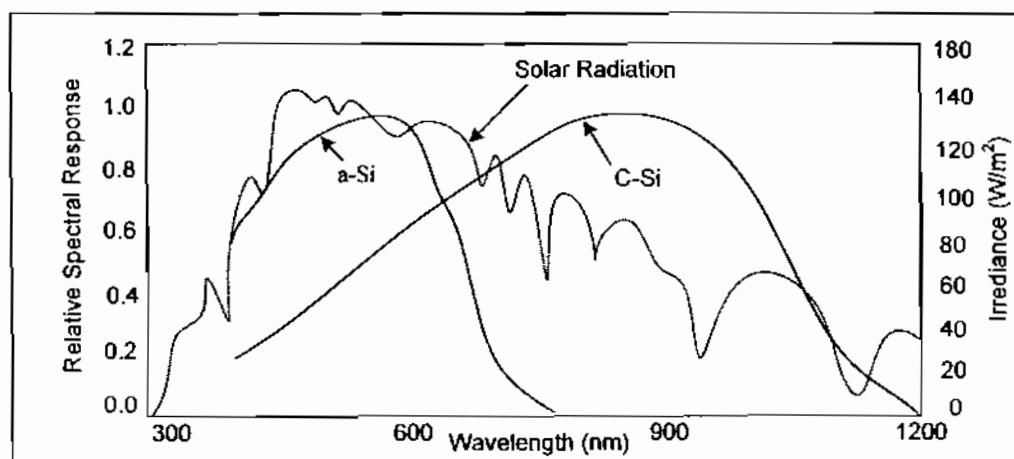
Solar Cell หรือ Photovoltaic (PV) มีชื่อเรียกกันไปหลากหลาย เช่น เซลล์แสงอาทิตย์หรือเซลล์สุริยะ เซลล์ photovoltaic ซึ่งค่างกันที่มาจากการคำว่า Photovoltaic โดยแยกออกเป็น photo หมายถึง แสง และ volt หมายถึง แรงดันไฟฟ้า เมื่อร่วมคำเหล่านี้หมายถึง กระบวนการผลิตไฟฟ้าจาก การดูดกระบวนการของแสงบนวัสดุที่มีความสามารถในการเปลี่ยนพลังงานแสงเป็นพลังงานไฟฟ้าได้ โดยตรง แนวความคิดนี้ได้ถูกกันพบมาตั้งแต่ปี ค.ศ. 1839 แต่เซลล์แสงอาทิตย์ก็ยังไม่ถูกสร้าง

ขึ้นมา จนกระทั่งใน ปี ก.ศ. 1954 จึงมีการประคิญ์เซลล์แสงอาทิตย์ และได้ถูกนำไปใช้เป็นแหล่งจ่ายพลังงานให้กับดาวเทียมในอวกาศ เมื่อ ปี ก.ศ. 1959 ดังนั้น สรุปได้ว่า

เซลล์แสงอาทิตย์ คือ สิ่งประคิญ์ที่ทำจากสารกึ่งคุณนำ เช่น ซิลิโคน (Silicon), แกลเลียม อาร์เซไนด์ (Gallium Arsenide), อินเดียม ฟอสไฟด์ (Indium Phosphide), แคดเมียม เทลเลอริด (Cadmium Telluride) และคอปเปอร์ อินเดียม ไนเชเลอินด์ (Copper Indium Diselenide) เป็นต้น ซึ่ง เมื่อได้รับแสงอาทิตย์โดยตรงก็จะเปลี่ยนเป็นพานะนำไฟฟ้า และจะถูกแยกเป็นประจุไฟฟ้านบุกและ ลบเพื่อให้เกิดแรงดันไฟฟ้าที่ขึ้นตั้งสองข่องเซลล์แสงอาทิตย์ เมื่อนำขึ้นไฟฟ้าของเซลล์แสงอาทิตย์ คือเข้ากับอุปกรณ์ไฟฟ้ากระแสตรง กระแสไฟฟ้าจะไหลเข้าสู่อุปกรณ์เหล่านั้น ทำให้สามารถ ทำงานได้

2.2.2 ความยาวคลื่นแสงที่ใช้กับแผงเซลล์แสงอาทิตย์

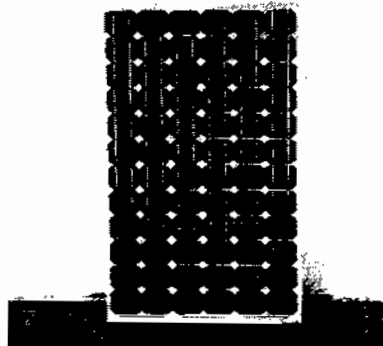
สำหรับแสงที่จะใช้กับเซลล์แสงอาทิตย์ได้นั้น ขอให้มีช่วงความยาวคลื่นที่เหมาะสม กับชนิดของสารกึ่งคุณนำที่มาทำเซลล์ ก็จะทำให้เกิดกระแสไฟฟ้าขึ้นได้ นั้นก็หมายความว่าไม่ จำเป็นต้องเป็นแสงอาทิตย์อย่างเดียว แสงจากแหล่งต่างๆ ในชีวิตประจำวันก็สามารถใช้ได้ อย่างไรก็ตามนอกจากราชวัสดุงานของแสงแล้วความเข้มของแสงก็เป็นสิ่งสำคัญ ถ้าความเข้มไม่ พอดีนานวนประจุที่เกิดก็จะไม่มากพอที่จะนำมาใช้งานจริงได้ แสงจันทร์นั้นทั้ง ๆ ที่จริงก็คือแสง ที่ต้องจากความอาทิตย์น้ำจะใช้งานได้ แต่เพราความเข้มของแสงจันทร์นั้นผิวโลกอ่อนมาก จึง นำมาใช้งานไม่ได้



ภาพประกอบ 2.1 ข้อมูลที่เกี่ยวกับความไวต่อแสงในการเก็บประจุของเซลล์แสงอาทิตย์แบบ Amorphous Silicon (a-Si) และ Crystalline Silicon (c-Si)

2.2.3 รูปแสดงลักษณะของเซลล์แสงอาทิตย์ชนิดผลึกเดียว

เซลล์แสงอาทิตย์ที่ทำจากซิลิโคน ชนิดผลึกเดียว (Single Crystalline Silicon Solar Cell) หรือ ที่รู้จักกันในชื่อ Monocrystalline Silicon Solar Cell ลักษณะเป็นแผ่นซิลิโคนแข็งและบางมาก ข้อดีของแผงเซลล์แสงอาทิตย์ คือใช้ราคากลางๆมากที่สุดในโลก และซิลิโคนมีราคาถูก เป็นวัสดุดี

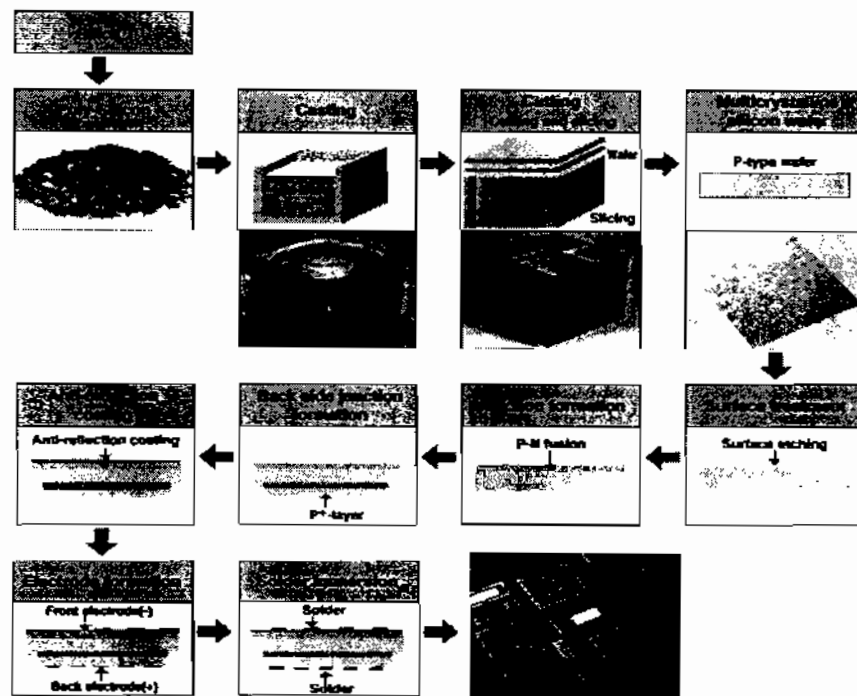


ภาพประกอบ 2.2 ลักษณะของเซลล์แสงอาทิตย์ชนิดผลึกเดียว

2.2.4 โครงสร้างและส่วนประกอบของเซลล์แสงอาทิตย์

2.2.4.1 โครงสร้างของเซลล์แสงอาทิตย์

โครงสร้างของเซลล์แสงอาทิตย์โดยทั่วไปแล้ว มีลักษณะเป็นรอยต่อ P-N ของสารกึ่งตัวนำ ดังภาพที่ 2.3 ซึ่งเป็นโครงสร้างของเซลล์แสงอาทิตย์แบบพิโอนของซิลิโคน โดยทั่วไป รอยต่อพิโอนสร้างมาจาก การนำแปรนผลึกซิลิโคนซึ่งเป็นฐานหนาประมาณ 300 ไมโครเมตร เข้าไปยังเดาแพร์สารที่มีสารเจือในรูปของก้าช สารเจือที่ใช้นี้จะต้องเป็นสารเจือที่ทำให้แปรนผลึกซิลิโคนเป็นชนิดตรงข้ามกับชนิดที่ใช้ทำเป็นฐาน และให้สารเจือแพรเข้าไปที่ผิวน้ำหนาประมาณ $0.2 \mu\text{m}$ รอยต่อพิโอนนี้มีค่าดีนิ่นๆ เพื่อต้องการให้แสงอาทิตย์ทะลุไปถึงรอยต่อมาที่สุด ด้านหลังของเซลล์ มีผิวสัมผัสโลหะฉาบปิดตลอดทั้งหมด เพื่อทำหน้าที่เป็นข้าไฟฟ้า ส่วนสำหรับด้านหน้าของเซลล์ที่รับแสงอาทิตย์จะมีข้าไฟฟ้าโลหะมีลักษณะเป็นตะแกรงหรือรูปนิ่วมีร่องกลุ่มผิวหน้าประมาณ 5% เพื่อให้แสงอาทิตย์ตกบนพื้นที่ Active Junctionมากที่สุดถัดจากข้าไฟฟ้านี้ เป็นชั้นของสารต้านการสะท้อนแสงหนาประมาณ 800-1000 Å สารที่ใช้เคลือบเพื่อต้านการสะท้อนแสง ได้แก่ซิลิโคนไอออกไซด์และแทนนาลันออกไซด์ แล้วจึงนำเซลล์ไปห่อหุ้นให้มิดชิดเพื่อป้องกันการ Oxidation ของผิวสัมผัสโลหะที่เป็นเหตุให้ผิวสัมผัสโลหะร่อนออกมารทำให้เซลล์เกิดวงศ์เปิดชั้น



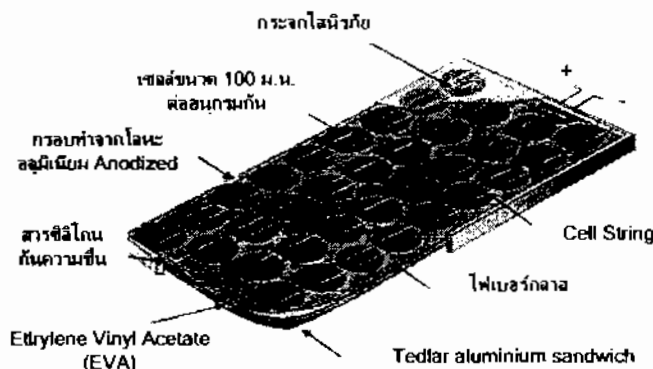
ภาพประกอบ 2.3 โครงสร้างของเซลล์แสงอาทิตย์

โครงสร้างของเซลล์แสงอาทิตย์จะลักษณะที่กล่าวมา เป็นรูบท่อ P-N แบบโอลิจัชัน (Homojunction) เพราะสารกึ่งตัวนำนิด P และสารกึ่งตัวนำนิด N ก็ทำมาจากซิลิโคนเหมือนกัน โครงสร้างรูบท่อ P-N ของเซลล์แสงอาทิตย์อิเล็กทรอนิกส์หนึ่งอาจใช้การกึ่งตัวนำนิด P และชนิด N ที่ทำจากสารกึ่งตัวนำที่แตกต่างกันรูบท่อ P – N แบบนี้เป็นแบบ heterojunction เช่น เซลล์แสงอาทิตย์ที่ทำจากแคลเมี่ยมชาลฟายน์จากโครงสร้างของเซลล์แสงอาทิตย์แบบรูบท่อ P-N แล้ว บังเอิญโครงสร้างรูบท่อแบบช่องตึกแบบเริโซร์ ซึ่งเป็นรูบท่อระหว่างโลหะและสารกึ่งตัวนำนอกจากนี้ แล้ว เซลล์แสงอาทิตย์อาจมีโครงสร้างเป็นลักษณะฟิล์มนบาง ซึ่งมีสารกึ่งตัวนำ ชนิด P และชนิด N ในลักษณะฟิล์มนบางสลับกันไปบนฐานวัสดุอื่น ๆ แนวโน้มในอนาคตเซลล์แสงอาทิตย์คงมีลักษณะเป็นฟิล์มนบางเพื่อลดต้นทุนในการผลิต

2.2.4.2 ส่วนประกอบของเซลล์แสงอาทิตย์

แรงเคลื่อนไฟฟ้าที่ผลิตขึ้นจากเซลล์แสงอาทิตย์เพียงเซลล์เดียวจะมีค่าต่ำมาก การนำมาใช้งานจะต้องนำเซลล์หลาย ๆ เซลล์ มาต่อกันแบบอนุกรมเพื่อเพิ่มค่าแรงเคลื่อนไฟฟ้าให้สูงขึ้น เซลล์ที่นำมาต่อกันในจำนวนและขนาดที่เหมาะสมเรียกว่า แผงเซลล์แสงอาทิตย์ (Solar Module หรือ

Solar Panel) การทำเซลล์แสงอาทิตย์ให้เป็นแผงก็เพื่อความสะดวกในการนำไปใช้งาน ด้านหน้าของแผงเซลล์ ประกอบด้วย แผ่นกระจกที่ มีส่วนผสมของเหล็กค่า ซึ่งมีคุณสมบัติในการยอมให้แสงผ่านได้ดี และยังเป็นเกราะป้องกันแผ่นเซลล์อีกด้วย แผงเซลล์จะต้องมีการ ป้องกันความชื้นที่ดีมาก เพราะจะต้องอยู่กลางแดดกลางฝนเป็นเวลาขานาน ใน การประกอบจะต้องใช้วัสดุที่มีความคงทนและป้อง กันความชื้นที่ดี เช่น ชิลิโคนและ อีวีเอ (Ethylene Vinyl Acetate) เป็นต้น เพื่อเป็นการป้องกันแผ่นกระจกด้านบนของแผงเซลล์ จึง ต้องมีการทำกรอบด้วยวัสดุที่มีความแข็งแรง เด่น คงร่องกีไม่มีความชำรุด เป็น ถ้ามีการเสริมความแข็งแรงของแผ่นกระจกให้เพียงพอ ซึ่งก็สามารถ ทดแทนการทำกรอบได้ เช่น กัน ดังนี้ แผงเซลล์จึงมีลักษณะเป็นแผ่นเรียบ (laminated) ซึ่งสะดวกใน การติดตั้ง



ภาพประกอบ 2.4 ส่วนประกอบของเซลล์แสงอาทิตย์

2.2.5 ลักษณะเด่นของเซลล์แสงอาทิตย์

- ใช้พลังงานจากธรรมชาติ คือ แสงอาทิตย์ ซึ่งสะอาดและบริสุทธิ์ ไม่ก่อ ปฏิกิริยาที่จะทำให้สิ่งแวดล้อมเป็นพิษ
- เป็นการนำพลังงานจากแหล่งพลังงานทดแทนมาใช้อย่างคุ้มค่าและไม่มีวันหมดไป จากโลกนี้
- สามารถนำไปใช้เพื่อผลิตพลังงานไฟฟ้าได้ทุกพื้นที่บนโลก และได้พลังงาน ไฟฟ้าใช้โดยตรง
- ไม่ดองใช้เชื้อเพลิงอื่นใดนอกจากแสงอาทิตย์ รวมถึงไม่มีการเผาไหม้ จึงไม่ ก่อให้เกิดมลภาวะด้านอากาศและน้ำ
- ไม่เกิดของเสียขณะใช้งาน จึงไม่มีการปล่อยมลพิษทำลายสิ่งแวดล้อม
- ไม่เกิดเสียงและไม่มีการเคลื่อนไหวขณะใช้งาน จึงไม่เกิดมลภาวะด้านเสียง

- เป็นอุปกรณ์ที่ติดด้วยกันที่ และไม่มีชิ้นส่วนใดที่มีการเคลื่อนไหวขณะทำงานจึงไม่เกิดการสึกหรอ
- ต้องการการบำรุงรักษาไม่มาก
- อายุการใช้งานยืนยาวและประสิทธิภาพคงที่
- มีน้ำหนักเบา ติดตั้งง่าย เคลื่อนย้ายสะดวกและรวดเร็ว
- เนื่องจากมีลักษณะเป็นโมดูล จึงสามารถประกอบได้ตามขนาดที่ต้องการ
- ช่วยลดปัญหาการสะสมของก๊าซต่างๆ ในบรรยากาศ เช่น คาร์บอนอนออกไซด์, ซัลเฟอร์ไดออกไซด์, ไฮโตรคาร์บอน และก๊าซในโครงการอนออกไซด์ฯลฯ ซึ่งเป็นผลจากการเผาไหม้ของเรือเพลิงเจ้าพากน้ำมัน ถ่านหิน และก๊าซธรรมชาติ ล้วนแล้วแต่ส่งผลกระทบต่อสิ่งแวดล้อม เกิดปฏิกิริยาเรือนกระจก ทำให้โลกร้อนขึ้น เกิดฝนกรด และอากาศเป็นพิษฯลฯ

2.3 การคำนวณเกี่ยวกับแรงเขตต์แสงอาทิตย์

ในส่วนนี้จะอธิบายถึงค่าว่าเพรที่เกี่ยวข้องกับกระแสไฟฟ้า แรงดันไฟฟ้า และกำลังไฟฟ้า ของเซลล์แสงอาทิตย์ที่วงจรอยู่ในสภาพภาวะปกติ แรงดันไฟฟ้าของเซลล์แสงอาทิตย์จะมีค่าเท่ากับ 0 ซึ่งทำให้ได้กระแสไฟฟ้าวงจรปิด (short circuit current, I_{sc}) มีค่าเท่ากับกระแสไฟฟ้า (Photo current, I_p) และเนื่องจากกระแสไฟฟ้าจะเป็นสัดส่วนกับค่าความรับ光รังสี (E) ดังนั้นค่า I_{sc} จึงนิยามเป็น

$$I_{sc} \approx I_{ph} = c_o \cdot E$$

ค่า I_{sc} จะเพิ่มขึ้นเมื่ออุณหภูมิสูงขึ้น อุณหภูมนิมาตรฐานที่ใช้ในการระบุค่า I_{sc} อยู่ที่ 25°C ค่าสัมประสิทธิ์อุณหภูมิ (temperature coefficient, $\alpha_{I_{sc}}$) ของ I_{sc} จะใช้ในการประเมินค่า I_{sc} ณ อุณหภูมิใดๆ โดย

$$I_{sc}(T_2) = T_{sc}(T_1) \cdot (1 + \alpha_{I_{sc}} \cdot (T_2 - T_1)) \quad (2.1)$$

สำหรับกรณีของเซลล์แสงอาทิตย์ที่ผลิตจากผลึกซิลิคอนนั้น ค่าสัมประสิทธิ์อุณหภูมิ ($\alpha_{I_{sc}}$) ของเซลล์แสงอาทิตย์ดังกล่าว จะมีค่าอยู่ระหว่าง $10^{-3}/^{\circ}\text{C}$ และ $10^{-4}/^{\circ}\text{C}$

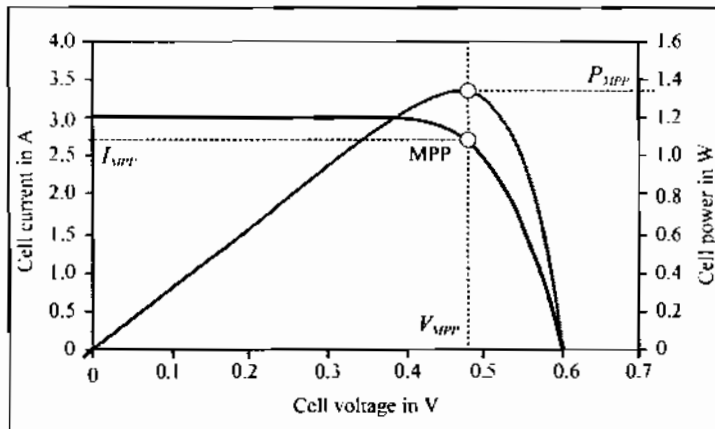
ในขณะที่กระแสไฟฟ้าที่ได้จากเซลล์แสงอาทิตย์มีค่าเป็นศูนย์ เซลล์แสงอาทิตย์จะอยู่ในสภาวะวงจรเปิด ในลักษณะดังกล่าว ทำให้แรงดันไฟฟ้าของเซลล์ (V) จะกลายเป็นแรงดันไฟฟ้าวงจรเปิด (open circuit voltage, V_{oc}) และกระแสไฟฟ้า (I_{ph}) ก็จะกลายเป็นกระแสไฟฟ้าวงจรเปิด (I_{o}) จากความสัมพันธ์ของกระแสและแรงดันไฟฟ้าในรูปวงจรสามัญ จะทำให้สมการของ V_{oc} เมื่อ I มีค่าเป็นศูนย์ คือ

$$V_{oc} = m \cdot V_T \cdot \ln\left(\frac{I_{sc}}{I_s} + 1\right) \quad (2.2)$$

เนื่องจากกระแสไฟฟ้าวงจรเปิด (I_o) เป็นสัดส่วนกับค่าความเข้มรังสีอาทิตย์ (E) นั้นคือ ค่าแรงดันไฟฟ้าวงจรเปิดจะขึ้นกับ $\ln(E)$ ดังนี้

$$V_{oc} \cong \ln(E) \quad (2.3)$$

สัมประสิทธิ์อุณหภูมิของ V_{oc} หรือ $\alpha_{V_{oc}}$ จะมีเครื่องหมายตรงข้ามกับ $\alpha_{I_{sc}}$ สำหรับเซลล์อน เซลล์แสงอาทิตย์ $\alpha_{V_{oc}}$ จะอยู่ระหว่าง $-3.0 \times 10^{-3} / ^\circ C$ ถึง $-5.0 \times 10^{-3} / ^\circ C$ ซึ่ง V_{oc} จะมีค่าลดลง เร็วกว่าการเพิ่มขึ้นของ I_{sc} เซลล์แสงอาทิตย์จะให้กำลังไฟฟ้าสูงสุดอยู่ที่แรงดันไฟฟ้ากำาหนึ่ง ก้าประกอบที่ 2.7 แสดงคุณสมบัติของกระแส แรงดัน และกำลังไฟฟ้า ของเซลล์แสงอาทิตย์ ทึ้งนี้จากการพัฒนาจะเห็นได้ว่า มีจุดหนึ่งบนเส้นกราฟ ที่แสดงถึงค่ากำลังไฟฟ้าสูงสุดของเซลล์ แสงอาทิตย์ ซึ่งเรียกว่า “จุดกำลังไฟฟ้าสูงสุด” (maximum power point, MPP) โดย แรงดันไฟฟ้าที่จุด MPP หรือที่ใช้ตัวบ่งเป็น V_{MPP} จะน้อยกว่าแรงดันไฟฟ้าวงจรเปิด V_{oc} และค่า กระแสไฟฟ้าที่จุด MPP หรือ I_{MPP} ก็จะมีค่าต่ำกว่ากระแสไฟฟ้าวงจรเปิด (I_o) ณ จุด MPP โดย คุณสมบัติของกระแสและแรงดันไฟฟ้า ที่สัมพันธ์กับค่าความรับอิรุ่งสีและอุณหภูมิ จะเป็น เห็นเดียวกับค่าของ I_{sc} และ V_{oc} ค่ากำลังไฟฟ้าสูงสุดนี้ จะหาได้จากสมการ 2.4



ภาพประกอบที่ 2.5: ความสัมพันธ์ระหว่างกระแส แรงดัน และกำลังไฟฟ้าของเซลล์แสงอาทิตย์ ที่จุด MPP

$$P_{MPP} = V_{MPP} \cdot I_{MPP} < V_{oc} \cdot I_{sc} \quad (2.4)$$

เนื่องจากสัมประสิทธิ์อุณหภูมิของแรงดันจะสูงกว่ากระแส ดังนั้นสัมประสิทธิ์อุณหภูมิของ P_{MPP} ($\alpha_{P_{MPP}}$) จึงติดลบ โดยมีค่าอยู่ระหว่าง $-3.0 \times 10^{-3} / ^\circ C$ และ $-6.0 \times 10^{-3} / ^\circ C$ และหากเมื่ออุณหภูมิเพิ่มขึ้น $25^\circ C$ จะทำให้กำลังไฟฟ้าลดลง 10 เปอร์เซ็นต์

ในการมีที่ต้องเปรียบเทียบระหว่างเซลล์แสงอาทิตย์ กับแบตเตอรี่เซลล์แสงอาทิตย์นั้น เทอมของค่ากำลังไฟฟ้าสูงสุด (P_{MPP}) จะทำการวัดภายใต้เงื่อนไขมาตรฐานการวัด (standard test condition, STC) นั่นคือ ค่าความรับ光อิเล็กทรอนิกส์ (E) เท่ากับ $1,000 \text{ W/m}^2$ อุณหภูมิแวดล้อม (T) เท่ากับ $25^\circ C$ มวลอากาศ (air mass, AM) เท่ากับ 1.5

ขณะที่ใช้งานเซลล์แสงอาทิตย์ในบางครั้งนั้น พลังงานไฟฟ้าที่เซลล์แสงอาทิตย์ผลิตออกมาก็จะมีค่าต่ำกว่าที่วัดได้ ณ STC หน่วยของกำลังไฟฟ้าที่วัดได้ ณ STC คือกำลังสูงสุด (Watt peak, Wp) กระแสไฟฟ้าที่ได้จากเซลล์แสงอาทิตย์ จะมีการเปลี่ยนแปลงตามค่ารังสีอาทิตย์อย่างชัดเจนดังนี้ กำลังไฟฟ้า ณ จุด MPP ที่เป็นสัดส่วนกับค่าความเข้มรังสีอาทิตย์ เช่นเดียวกัน นอกจากนี้ ก็ยังมีค่าแปรอënๆ ได้แก่ ค่าฟิล์ฟเฟิลฟัคเตอร์ (fill factor, FF) ซึ่งนิยามดังสมการ 2.5 คือ

$$F.F. = \frac{P_{MPP}}{V_{oc} \cdot I_{sc}} = \frac{V_{MPP} \cdot I_{MPP}}{V_{oc} \cdot I_{sc}} \quad (2.5)$$

V_{MPP} คือ แรงดันไฟฟ้าสูงสุด (V)

I_{MPP} คือ กระแสไฟฟ้าสูงสุด (A)

V_{oc} คือ ค่าแรงดันไฟฟ้าวงจรปิด (V)

I_{sc} คือ ค่ากระแสไฟฟ้าวงจรปิด (A)

ฟิล์มไฟครอบจะใช้ในการระบุถึงคุณภาพของเซลล์แสงอาทิตย์ โดยอาศัยกราฟที่แสดงความสัมพันธ์ระหว่างกระแสไฟฟ้าและ แรงดันไฟฟ้า (I-V curve) ปกติแล้วฟิล์มไฟครอบ จะมีค่าอยู่ที่ 0.75-0.85 ซึ่งประสิทธิภาพของเซลล์แสงอาทิตย์นั้นสามารถคำนวณได้จาก

$$\eta = \frac{P_{MPP}}{E \cdot A} = \frac{FF \cdot V_{oc} \cdot I_{sc}}{E \cdot A} \quad (2.6)$$

ประสิทธิภาพของแผงเซลล์ปิดจะหาได้ภายใต้เงื่อนไขของ STC ตารางที่ 2.1 จะพอสรุปพารามิเตอร์ต่างๆ ที่ใช้ระบุคุณภาพของแผงเซลล์แสงอาทิตย์

Name	Symbol	Unit	Remarks
Open circuit voltage	V_{oc}	V	$V_{oc} \cong \ln(E)$
Short circuit voltage	I_{sc}	A	$I_{sc} \approx I_{ph} \cong E$
MPP voltage	V_{MPP}	V	$V_{MPP} < V_{oc}$
MPP current	I_{MPP}	A	$I_{MPP} < I_{sc}$
MPP power	P_{MPP}	W or W_p	$P_{MPP} = V_{MPP} \cdot I_{MPP}$
Fill factor	FF	-	$FF = P_{MPP} / (V_{oc} \cdot I_{sc}) < 1$
Efficiency	η	%	$\eta = P_{MPP} / (E \cdot A)$

ตารางที่ 2.1: คัวแปรทางไฟฟ้าของเซลล์แสงอาทิตย์

2.4 เซลล์แสงอาทิตย์กับอุณหภูมิ และค่าความเข้มรังสีอาทิตย์

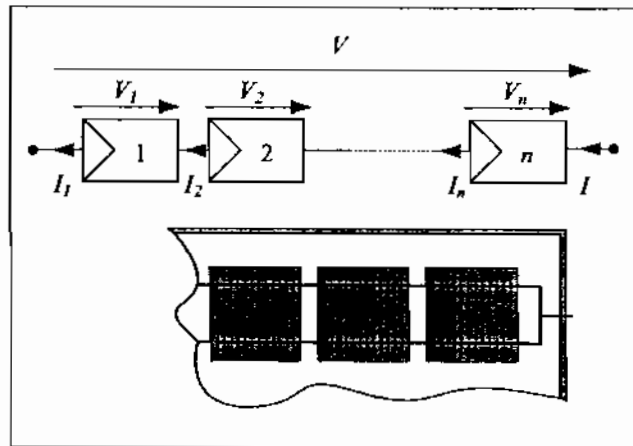
โดยปกติแล้วเซลล์แสงอาทิตย์ไม่สามารถทำงานเดี่ยวๆ ได้ด้วยตัวเองเนื่องจากแรงดันไฟฟ้าของเซลล์นี้ค่อนข้างมาก จึงต้องต่อหลาຍๆ เซลล์เข้าด้วยกันประกอบกัน เป็นแผงเซลล์แสงอาทิตย์ การต่อแผงเซลล์แสงอาทิตย์จะมีทั้งแบบอนุกรมและแบบขนาน หรืออนุกรุณ – ขนาน แล้วแต่ลักษณะของการใช้งาน

ปกติแผงเซลล์แสงอาทิตย์หนึ่งแผง จะให้แรงดันไฟฟ้าออกมาราว 12 V เพื่อให้เพียงพอต่อการประจุเบตเตอร์รีบวนด้วย 12 V นั่นเอง ซึ่งในลักษณะดังกล่าว เซลล์แสงอาทิตย์จำนวน 33 – 40 เซลล์ จะถูกต่อเข้าด้วยกันแบบอนุกรุณใน 1 แผงเซลล์แสงอาทิตย์ สำหรับกรณีของระบบผลิตไฟฟ้าด้วย

เซลล์แสงอาทิตย์ที่เชื่อมต่อเข้ากับระบบสายส่งของการไฟฟ้า แมงเซลล์แสงอาทิตย์จำนวนมากจะต่อ กันแบบอนุกรม เพื่อให้ได้แรงดันไฟฟ้าสูงๆ ออกมานะ

ในการต่ออนุกรมนั้น กระแสไฟฟ้า I ที่ไหลผ่านแต่ละเซลล์จะเท่ากันตลอด ตามกฎของเคิร์ชhoff's (Kirchhoff's law) ดังรูปที่ 2.2 ส่วนแรงดันไฟฟ้า V จะสามารถนำรวมกันเพื่อให้ได้แรงดันไฟฟ้าของแมงเซลล์ที่สูงขึ้น

$$I = I_1 = I_2 = \dots = I_n \quad (2.7)$$



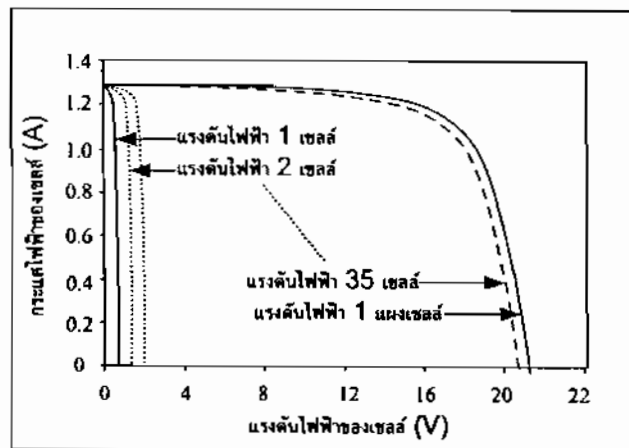
ภาพประกอบที่ 2.6: การต่อเซลล์แสงอาทิตย์แบบอนุกรม

$$V = \sum_{i=1}^n V_i \quad (2.8)$$

เมื่อกำหนดว่าเซลล์แสงอาทิตย์ทุกเซลล์ มีลักษณะเหมือนกันและอุณหภูมิของเซลล์เดียวและเซลล์เท่ากัน ดังนั้นแรงดันไฟฟ้ารวมจะเป็น

$$V = n \cdot V_i \quad (2.9)$$

คุณลักษณะของความสัมพันธ์ระหว่างกระแสและแรงดันไฟฟ้า (I-V curve) สำหรับเซลล์แสงอาทิตย์ที่ต่ออนุกรมกัน ได้แสดงไว้ในภาพประกอบที่ 2.11



ภาพประกอบที่ 2.7: คุณลักษณะของกระแส และแรงดันไฟฟ้าของเซลล์จำนวนต่างๆ กัน

ข้อมูลของเซลล์แสงอาทิตย์ที่ได้จากศูนย์ผลิต จะระบุถึงคุณสมบัติของแผงมากกว่า เท่านั้น อาทิเช่น V_{oc0} , V_{sc0} , V_{MPP0} โดยค่าเหล่านี้ ได้จากการวัดที่เมื่อนำไปสู่ภาวะมาตรฐาน (STC, $E_{1,000} = 1,000 \text{ W/m}^2$, $T_{25} = 25^\circ\text{C}$) รวมไปถึงค่า α_v และ α_i ซึ่งก็คือค่าอัตราการเปลี่ยนแปลงของค่า V_{oc} และ I_{sc} ตามอุณหภูมิของแรงดันและกระแสไฟฟ้าตามลำดับ ในการประเมินค่าสมรรถนะ (performance) ของเซลล์แสงอาทิตย์นั้น จะใช้สมการเหล่านี้

$$V_{oc} = V_{oc0} \cdot \frac{\ln(E)}{\ln(E_{1,000})} \cdot (1 + \alpha_v(T - T_{25})) \quad (2.10)$$

$$V_{MPP} = V_{MPP0} \cdot \frac{\ln(E)}{\ln(E_{1,000})} \cdot (1 + \alpha_v(T - T_{25})) \quad (2.11)$$

$$I_{sc} = I_{sc0} \cdot \frac{E}{E_{1,000}} \cdot (1 + \alpha_i(T - T_{25})) \quad (2.12)$$

$$I_{sc} = I_{sc0} \cdot \frac{E}{E_{1,000}} \cdot (1 + \alpha_i(T - T_{25})) \quad (2.13)$$

ซึ่งสมการต่างๆ ดังกล่าว จะใช้ในการประเมินหาค่าประสิทธิภาพของเซลล์แสงอาทิตย์ ที่อุณหภูมิ และค่าความเข้มรังสีอาทิตย์ต่างๆ กัน โดยดัวเปร

$$c_1 = I_{sc} \cdot \exp(-c_2 \cdot V_{oc}) \quad (2.14)$$

$$c_2 = \frac{\ln\left(1 - \frac{I_{MPP}}{I_{sc}}\right)}{(V_{MPP} - V_{oc})} \quad (2.15)$$

ความสัมพันธ์ระหว่างกระแส I และแรงดันไฟฟ้า V แห่งเซลล์แสงอาทิตย์หาได้จาก

$$I = I_{sc} - c_1 \cdot \exp(c_2 \cdot V) \quad (2.16)$$

2.5 หลักพื้นฐานทางกายภาพของแผงรับรังสีแสงอาทิตย์

แผงรับรังสีแสงอาทิตย์นิคแห่นราบ ไม่ใช่ทำงานได้ภายใต้สภาวะฟ้าใสแคดจ้าห่านนี้ แต่ ในสภาวะมีเมฆปกคลุม ในวันหนึ่งๆ ซึ่งอาจจะเกินเวลาหลายชั่วโมง ก็ยังสามารถทำงานให้ความร้อนออกมากได้ เพราะในสภาวะแคดไม่จำเป็นว่าจะมีรังสีแสงอาทิตย์แบบกระจาย ผลกระทบ แผงรับรังสีชนิดแห่นราบ ได้และที่สำคัญ แม้ว่าจะมีรังสีแสงอาทิตย์แบบกระจายจะมีความเข้มด้วยกันรังสี แสงอาทิตย์แบบตรงมาก แต่ผลกระทบของแสงแต่ละส่วนที่กระจัดกระจายเข้ามากระทบแผงรับรังสี แห่นราบก็จะถูกรวมรวม ได้ด้วยเหตุผลนี้ สำหรับประสิทธิภาพของแผงรับรังสีแสงอาทิตย์ ชนิดแห่นราบจะขึ้นกับหลายปัจจัย เช่น ขนาดและรูปแบบของแผง ความเข้มของแสงอาทิตย์ ภาวะอากาศ อุณหภูมิต่ำสุด ความร้อนที่ต้องการ และอัตราการเพิ่มน้ำของอุณหภูมิ เป็นต้น ประสิทธิภาพจึงได้มีการเปลี่ยนแปลงตลอดในแต่ละชั่วโมง แผงรับชนิดแห่นราบทองใช้เวลาพอสมควรในช่วงเช้า กว่าที่จะให้ความร้อนเต็มที่ ก็ต้องหลังเที่ยงไปแล้ว ในสภาวะการใช้งานปกติ ประสิทธิภาพทั้งหมดของแผงรับรังสีชนิดแห่นราบ โดยทั่วไปเป็นผลลัพธ์ของค่าประสิทธิภาพทางแสง (Optical Efficiency) กับค่าประสิทธิภาพทางความร้อน (Thermal Collection Efficiency) จะไม่ขึ้นกับ อุณหภูมิทำงานและความเข้มของรังสีแสงอาทิตย์ แต่จะขึ้นกับนุ่นตកกระทบที่แสงทำกับแห่นราบ ปัจจุบันของแผงรับรังสีแสงอาทิตย์นิคแห่นราบจะอยู่ในช่วง 75–80 % ถ้าใช้กรอบไส้ที่หาได้ง่ายซึ่งมีสัมประสิทธิ์ในการส่งผ่านแสง = 85 %

โดยทั่วไป สมรรถนะการทำงานของแผงรับรังสีแสงอาทิตย์ ชนิดแห่นราบจะขึ้นกับสถานที่ติดตั้ง เช่น ประสิทธิภาพที่มีเมฆปกคลุมจะต่ำกว่าในวันฟ้าโปร่ง ซึ่งต้องพิจารณาด้วยความรอบคอบ และต้องคำนึงถึงข้อมูลของสภาวะอากาศอยู่ตลอดเวลาที่ใช้งาน

2.6 โครงสร้างของแผนรับรังสีแสงอาทิตย์ชนิดแผ่นร้าน

แผนรับรังสีแสงอาทิตย์ชนิดแผ่นร้าน เป็นอุปกรณ์ที่ใช้ประโยชน์จากพลังงานแสงอาทิตย์ โดยไม่ทำให้โลกเสียสมดุลทางความร้อน หลักการของแผนรับรังสีแสงอาทิตย์ชนิดแผ่นร้าน สำคัญล้องกับการอนุรักษ์พลังงานอย่างสมมูลรูปแบบ เนื่องจากสามารถเก็บรวมรวมพลังงานความร้อน แม้มีเมฆบังแสงอาทิตย์ก็ตาม และมีโครงสร้างที่ป้องกันการสูญเสียความร้อน โดยอาศัยหลักการถ่ายเทความร้อนทั้ง 3 ทาง คือ การนำความร้อน การพาความร้อน และการแผ่รังสีความร้อน โครงสร้างของแผนรับรังสีแสงอาทิตย์ชนิดแผ่นร้าน ประกอบไปด้วย

- แผ่นคุณภาพสูง ทำสีดำ โดยมากนักเป็นแผ่นสีเหลือง ขนาดของพื้นที่จะเป็นตัวกำหนดปริมาณพลังงานความร้อนที่ได้ เมื่อแสงอาทิตย์ตกกระทบลงบนแผ่นคุณภาพสูง จะเปลี่ยนพลังงานแสงอาทิตย์เป็นพลังงานความร้อนแล้วถ่ายเทด้วยการนำความร้อนไปยังห้องโภชนาที่เชื่อมติดกัน
- ท่อนำ เป็นท่อโลหะที่มีคุณสมบัตินำความร้อนได้ดี เช่น ทองแดง อลูминียม วางเป็นแนวให้สามารถรับการถ่ายเทความร้อนด้วยวิธีการนำความร้อนแล้วถ่ายเทความร้อนให้กับน้ำในท่อด้วยวิธีการพาความร้อน น้ำจะเป็นตัวกลางนำพลังงานความร้อนไปใช้
- กระจกใส วางเหนือแผ่นคุณภาพสูง ทำหน้าที่ปิดช่องทางการถ่ายเทความร้อนด้วยวิธีการพาความร้อน ด้วยแผ่นกระจกใส ดองไม้คุณภาพสูงสี หรือ สะท้อนรังสี ความสามารถกันความร้อนค่อนข้างมากที่สุด
- ฉนวนกันความร้อน ใช้สำหรับบุและอุคแทนที่ซองว่าง บริเวณด้านล่างของแผ่นคุณภาพสูง เพื่อไม่ให้เกิดการสูญเสียความร้อนทางด้านล่างและด้านข้าง
- ของไหอที่ใช้พาความร้อนไปใช้ประโยชน์ มีอยู่ 2 ชนิด คือ ของเหลว เช่นน้ำ มีความจำเป็นต้องให้ไปตามท่อ ส่วนอีกชนิด คืออากาศ ซึ่งจะพัดพาความร้อนเนื่องจากแผ่นคุณภาพสูงไปใช้ประโยชน์
- ครอบโครงสร้าง สำหรับบรรจุโครงสร้างทั้งหมด ให้เป็นอุปกรณ์เดียว

การใช้ประโยชน์จากพลังงานแสงอาทิตย์จะอาศัยความร้อนที่ได้รับไว้โดยแบ่งรับรังสีชนิดแผ่นร้านไปทำให้น้ำมีอุณหภูมิสูงขึ้น ด้วยอุปกรณ์ที่เรียกว่า เครื่องทำน้ำร้อนพลังงานแสงอาทิตย์ ในกรณีนี้ การแพร่รังสีของแสงอาทิตย์มีการถ่ายทอดผ่านพื้นที่ที่ไม่มีการปิดบังของแผงเซลล์แสงอาทิตย์และสุดท้ายจะมีการคูลชันโดยด้วยคูลชันที่มีศักดิ์ อิ่งไปกว่านั้นพลังงานความร้อนที่สัมพันธ์กับแผงเซลล์แสงอาทิตย์มีการถ่ายทอดสู่คูลชันโดยการพาความร้อนสำหรับการให้ความร้อนต่อไป น้ำที่อยู่ได้ด้วยคูลชันจะร้อนขึ้นและจะเคลื่อนที่เข้าสู่ด้านบนดังกล่าวในการทำงานที่แสดงในภาพประกอบที่ 2.12

2.7 การคำนวณเกี่ยวกับแบ่งรับรังสีอาทิตย์

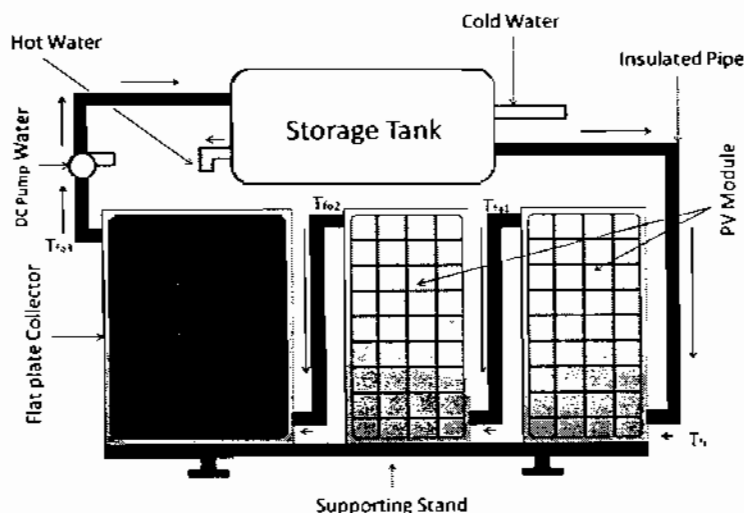
การคำนวณเกี่ยวกับแบ่งรับรังสีอาทิตย์มีดังนี้ (Dubey and Tiwari,2008)

- อัตราการถ่ายโอนพลังงานความร้อนของแผงเซลล์แสงอาทิตย์

$$\dot{Q}_{u,m} = A_m F_{Rm} \left(PF(\alpha\tau)_{m,eff} I(t) - U_{L,m} (T_u - T_a) \right) \quad (2.17)$$

- ประสิทธิภาพทางความร้อนของแผงเซลล์แสงอาทิตย์

$$\eta_i = F_{Rm} \left(PF(\alpha\tau)_{m,eff} - U_{L,m} \frac{(T_u - T_a)}{I(t)} \right) \quad (2.18)$$



ภาพประกอบที่ 2.8: ระบบเครื่องทำน้ำร้อนพลังงานแสงอาทิตย์แบบ PV/T Solar collector

โดย $\dot{Q}_{u,m}$ คือ อัตราการถ่ายเทขายความร้อนออกจากแผง PV/T A_m คือ พื้นที่ของแผงเซลล์แสงอาทิตย์ F_{Rm} คือ ค่าการถ่ายเทขายความร้อน (heat removal factor) PF คือค่า packing factor (เท่ากับ 0.965) $\alpha_{c,eff}$

คือ ค่าสัมประสิทธิ์การดูดกลืนรังสีความร้อน (absorbance coefficient) $T_{m,eff}$ คือ ค่าสัมประสิทธิ์การส่องผ่าน (transmittance) $I(t)$ คือ ค่าความเข้มรังสีอาทิตย์ U_{ext} คือ ค่าสัมประสิทธิ์การด่ายเทความร้อนรวมของแสง PV/T T_f คือ ค่าอุณหภูมน้ำขาเข้าแสง PV/T T_i คือ อุณหภูมิเวลล้อม

- อัตราการถ่ายโอนพลังงานความร้อนของแผงรับรังสีอาทิตย์

$$\dot{Q}_{n,c} = A_c F_{Rc} \left((\alpha\tau)_{c,eff} I(t) - U_{L,c} (T_{fo2} - T_a) \right) \quad (2.19)$$

- ประสิทธิภาพทางความร้อนของแพลงรับรังสีอาทิตย์

$$\eta_i = \frac{\dot{Q}_{u,m}}{N_e A_e I(t)} \quad (2.20)$$

โดย $\dot{Q}_{u,c}$ คือ อัตราการถ่ายเทความร้อนออกจากแสง PV/T A_c คือ พื้นที่ของแผงรับรังอาทิตย์ N_c คือ จำนวนแสง F_{Kc} คือ ค่าการถ่ายเทความร้อน (heat removal factor) α_{ceff} คือ ค่าสัมประสิทธิ์การดูดกลืนรังสีความร้อน (absorbtance coefficient) T_{ceff} คือ ค่าสัมประสิทธิ์การส่องผ่าน (transmittance) I(t) คือ ค่าความเข้มรังสีอาทิตย์ U_L คือ ค่าสัมประสิทธิ์การถ่ายเทความร้อนรวมของแสง T_{b2} คือ ค่าอุณหภูมน้ำเข้าแผงรับรังสีอาทิตย์ T_a คือ อุณหภูมิเวคลื่อน

บทที่ 3

วิธีการดำเนินงาน

3.1 วิธีการดำเนินงาน

งานวิจัยชิ้นนี้ ได้แบ่งการทำงานออกเป็นสองส่วนกือ ส่วนของการปรับปรุงระบบ และส่วนของการทำทดลองระบบ โดยมีรายละเอียดของงานเด่นๆ ดังนี้

3.2 การปรับปรุงระบบ

ได้ปรับปรุงเพิ่มเติม แผง PV/T- solar collector และส่วนอื่นๆ ที่ซ้ำๆ โดยมีรายละเอียด ของการสร้างส่วนค่างๆ ดังนี้

3.2.1 แผง PV/T

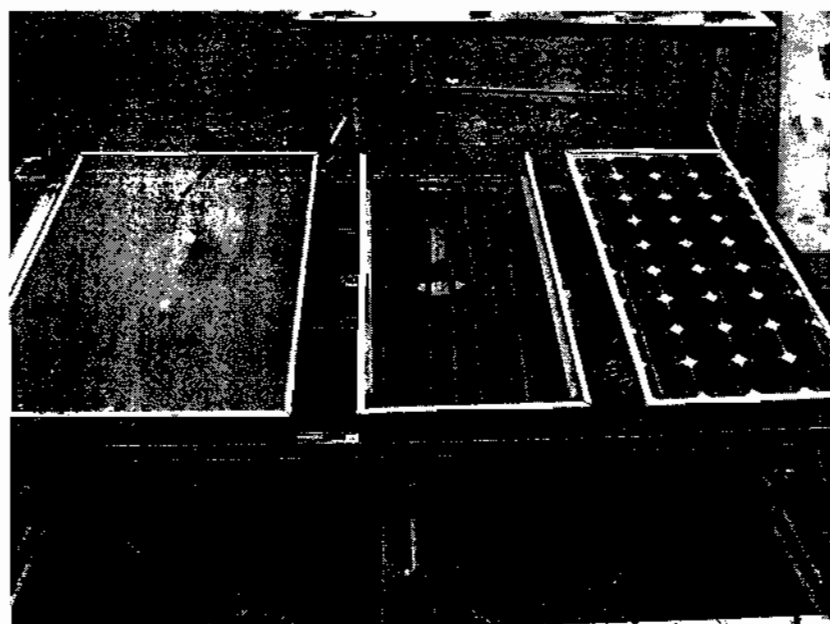
แผง PV/T คือแผงเซลล์แสงอาทิตย์ที่ถูกปรับปรุงให้สามารถผลิตทั้งไฟฟ้าและความร้อน รวมกันได้ โดยในการศึกษานี้ ได้ทำการคิดท่อทองแดงขนาด 6 หุนเข้าที่แผงเซลล์แสงอาทิตย์และ ให้น้ำไหลเวียนให้น้ำเข้าไปปรับเปลี่ยนความร้อนจากแผง PV/T ขนาดของแผงเซลล์อาทิตย์ที่ใช้มีขนาด 0.45×0.98 ตารางเมตร จำนวน 2 แผง เป็นชนิดหลิกเดียวซิลิโคน ค่าแรงดันไฟฟ้าสูงสุด (V_{max}) เท่ากับ 22 โวลต์ ค่ากระแสไฟฟ้าสูงสุดเท่ากับ 3 แอมป์ ค่าฟิล์ค์เฟกเตอร์ (FF) มีค่าเท่ากับ 0.85 เพื่อ จ่ายไฟฟ้าให้พอกับขนาดของ pump ซึ่งขนาด 150 W แรงดันไฟฟ้า 12 โวลต์ และกระแสไฟฟ้า 10 แอมป์ ลักษณะของแผง PV/T ดังแสดงในรูป 3.1

3.2.2 แผงรังสีอาทิตย์

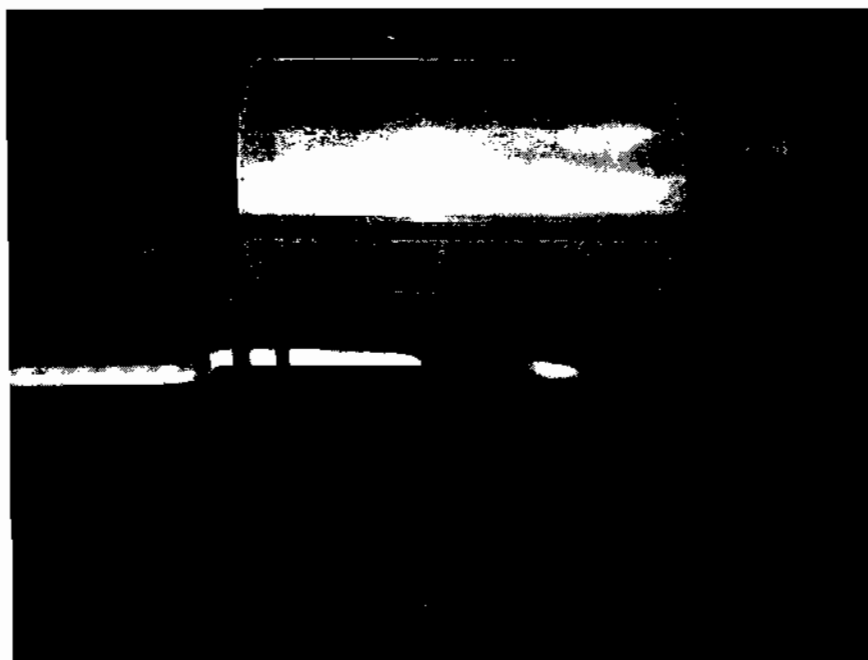
แผงรังสีอาทิตย์มีขนาดเท่ากับ 0.67×0.98 ตารางเมตร โครงสร้างของแผ่นเป็น อลูมิเนียม ประกอบด้วยชั้นวนกับความร้อนด้านข้างหนา 8 มิลลิเมตร และด้านล่างของแผ่นหนา 1.5 นิ้ว แผ่นรับรังสีเป็นสังกะสีพ่นสีดำ โดยท่อน้ำร้อนเป็นท่อทองแดง ขนาด 6 หุน ค่อกันแบบขนาน ที่อนดิคด้านล่างของแผงรังสีอาทิตย์ ด้านบนปิดด้วยแผ่นกระจกใส หนา 5 มิลลิเมตร โดยมีระยะ ระหว่างแผ่นกระจกและแผ่นรับรังสี 10 เซนติเมตร

3.2.3 ถังเก็บน้ำร้อน

ถังเก็บน้ำร้อน มีขนาด 25 ลิตร โดยมีช่องน้ำเย็นเข้า ช่องน้ำไหลเข้าสู่แผง PV/T ช่องน้ำร้อนจากแผงรับรังสีอาทิตย์เข้าสู่ถัง และช่องระบายน้ำร้อนปิดน้ำไปใช้งาน โดยถังน้ำ ดังกล่าว มีการหุ้มลูวนหนา 3 เซนติเมตร ลักษณะของถังน้ำร้อนดังแสดงในรูปที่ 3.2



รูปที่ 3.1: แผง PV/T ใช้หน้าเวียนรับความร้อน



รูปที่ 3.2: ถังเก็บน้ำร้อน

3.3 การทดสอบระบบ

อุปกรณ์แต่ละส่วนข้างต้น ได้นำมาประกอบกันเข้าเป็นระบบผลิตน้ำร้อนแบบผสมผสานระหว่างแสง PV/T และแสงรับรังสีอาทิตย์ (solar collector) โดยนำเข้าจากดังเก็บจะให้ผลลัพธ์ไปรับความร้อนจากแสง PV/T ก่อนแล้ว หลังจากนั้นก็ให้ผลลัพธ์แสง PV/T เพื่อรับความร้อนขั้นที่สองจากแสงรับรังสีอาทิตย์ ก่อนที่จะเข้าสู่ถังเก็บน้ำ โดยการให้ผลลัพธ์ของน้ำภายในระบบใช้ปืนน้ำเพื่อช่วยให้เกิดการให้ผลลัพธ์ดีขึ้น

ด้วยแปรที่ทำการวัดในการทดสอบระบบมีดังนี้คือ

- อุณหภูมน้ำขาเข้า
- อุณหภูมิเฉลี่ยแหงเซลล์แสงอาทิตย์,
- อุณหภูมิอากาศภายใน PV/T,
- อุณหภูมน้ำขาออก PV/T,
- อุณหภูมิเฉลี่ยแหงเซลล์แสงอาทิตย์,
- อุณหภูมิอากาศภายใน PV/T2
- อุณหภูมน้ำขาออก PV/T2
- อุณหภูมน้ำในถังเก็บ
- อุณหภูมิอากาศภายในแหงรับรังสีอาทิตย์
- อุณหภูมิผิวกระชากของแหงรับรังสีอาทิตย์
- ค่าความเข้มรังสีอาทิตย์
- กระแสไฟฟ้าวงจรปิด(I_{sc}) และค่าแรงดันไฟฟ้าวงจรปิด (V_{oc})

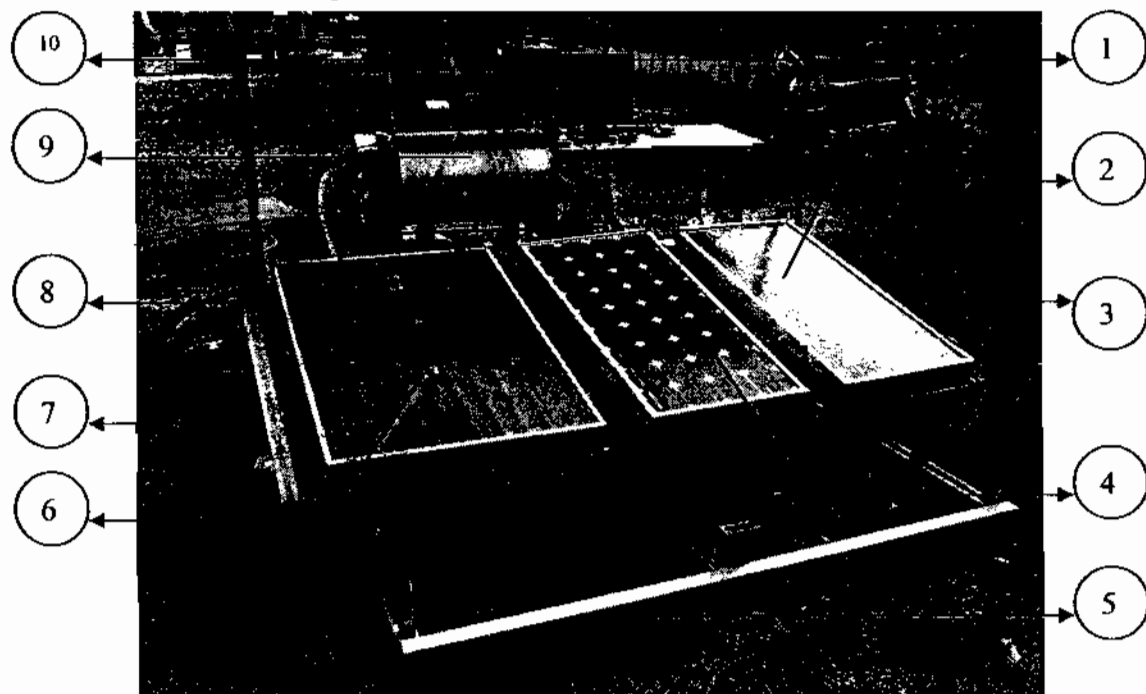
ลักษณะการวัดด้วยแปรต่างๆข้างต้น ดังแสดงในรูปที่ 3.5

3.3.1 สถานที่ทำการทดสอบ

ในการศึกษานี้ ได้ทำการทดสอบที่ภาควิชาไฟสิกส์คณวิทยาศาสตร์ มหาวิทยาลัยมหาสารคาม ซึ่งอยู่คลองคิจุคุที่ 16 องศาเหนือ (อ้างอิงจาก Google Maps ที่ละดิจูตที่ 16.246 องศาเหนือ ลองดิจูตที่ 103.250 องศา) โดยพื้นที่ๆ ทำการทดสอบเป็นที่โล่ง ไม่มีการบดบังของแสงระหว่างทำการทดสอบ สภาพท้องฟ้าขณะทดสอบ มีเมฆเล็กน้อย รูปที่ 3.4 แสดงให้เห็นถึงสภาพท้องฟ้าและบริเวณที่ทำการทดสอบ

3.3.2 อุปกรณ์การวัด

เครื่องบันทึกข้อมูล (data logger) มีช่องสำหรับใส่ชุดวัดสัญญาณ (Plug-in Module 3 ช่องสัญญาณ สามารถใช้บันทึกข้อมูลได้สูงสุด 60 ชุด โดยเป็นเครื่องบันทึกข้อมูลยี่ห้อ Agilent Model 34970A (ดังแสดงในรูปที่ 3.5) ซึ่งสามารถทำการจัดการการทำงานโดยคอมพิวเตอร์ผ่านโปรแกรมคอมพิวเตอร์ โดยอาศัยซอฟแวร์ของเครื่องผ่านทางพอร์ตเชื่อมต่อ RS-232 (ดังแสดงในรูปที่ 3.6) และสามารถทำการกำหนดค่าการวัดผ่านจ่องบันทึกข้อมูลดังกล่าวได้โดยตรง มีค่าความละเอียดการวัด (Resolution) 6 หลัก สามารถวัดอุณหภูมิ ได้ทั้งแบบ RTD, Thermocouple สามารถรองรับการวัดโดยใช้ RTD ในช่วงการวัด -150 °C ถึง 500 °C หรือกว้างกว่า โดยมีค่าความแม่นยำ 0.005 °C และสามารถรองรับการวัดโดยใช้ Thermocouple ในช่วงการวัด -100 °C ถึง 1500 °C หรือกว้างกว่า โดยมีค่าความแม่นยำ 0.05 °C สายวัดอุณหภูมิที่ใช้ เป็นสายเทอร์โมคัพเปิล type K จำนวน 13 เส้น (ดังแสดงในรูปที่ 3.7)

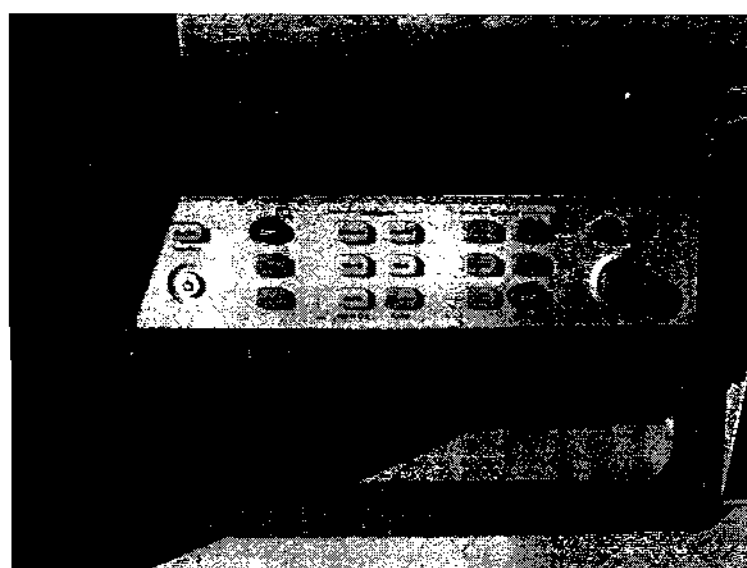


- | | |
|--------------------------------------|--|
| 1. เครื่องคอมพิวเตอร์บันทึกข้อมูล | 2. PV/T 1 |
| 3. น้ำเข้า PV/T 1 ($T_{in,PV/T1}$) | 4. PV/T 2 |
| 5. ฐานรอง แผง PV/T | 6. แผงรับรังสีอาทิตย์ |
| 7. ปั๊มน้ำกระแสตรง | 8. น้ำออกแผงรับรังสี ($T_{out,col}$) |
| 9. ถังเก็บน้ำร้อน | 10. Agilent data logger |

รูปที่ 3.3 : การวัดค่าตัวแปรต่างๆ ระหว่างการทดลอง



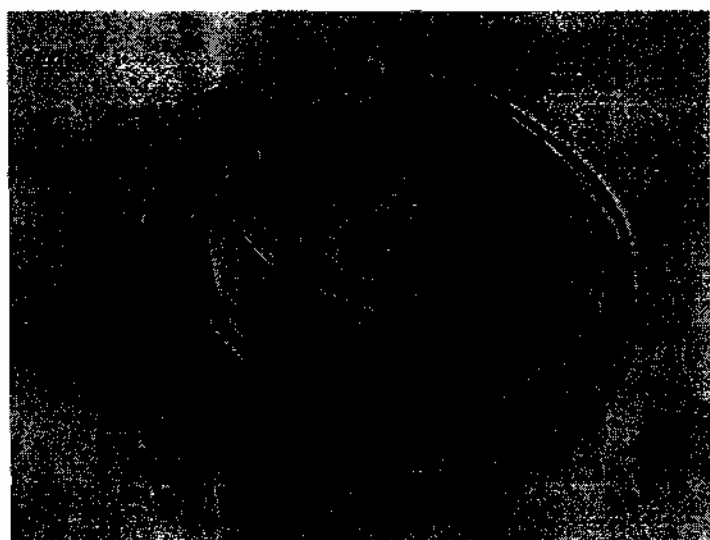
รูปที่ 3.4 : สภาพห้องฟ้าและบริเวณที่ทำการทดลอง



รูปที่ 3.5 : เครื่องบันทึกข้อมูล Agilent data logger



รูปที่ 3.6 : ชุดคอมพิวเตอร์เพื่อจัดการและบันทึกข้อมูล



รูปที่ 3.7 : สายเทอร์โนมิคัปเปิล Type K



รูปที่ 3.8 : เครื่องวัดกระแทกไฟฟ้า



รูปที่ 3.9: เครื่องวัดแรงดันไฟฟ้า HP multimeter model 973A

- เครื่องวัดกระแสไฟฟ้าที่ 3.8
 - เครื่องวัดกระแสแรงดันไฟฟ้า แรงดันไฟฟ้าของจริงปิดและกระแสแสงไฟฟ้าของจริงปิดที่ได้จากແเนกเซลล์แสงอาทิตย์ ถูกทำการวัดโดยใช้เครื่องมือของ Hewlett Packard multimeter model 973A ดังรูปที่ 3.9

3.3.3 ขั้นตอนการวัดผล

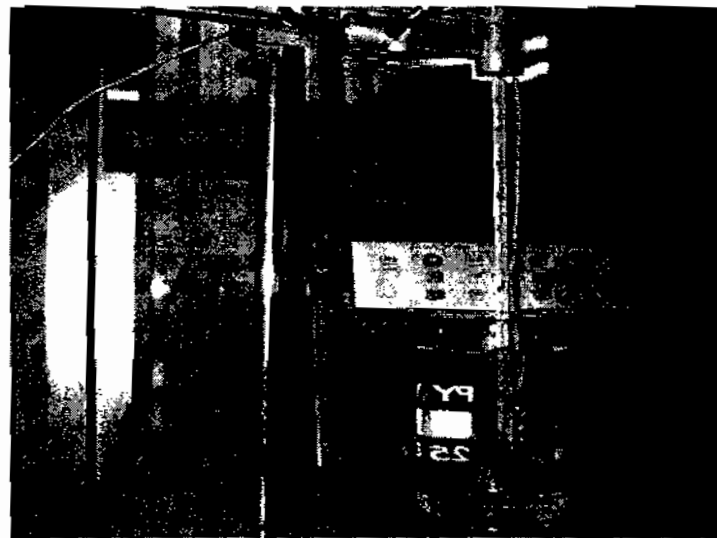
สำหรับขั้นตอนการวัดผลการทดลองนี้ หลังจากที่ได้ติดตั้ง เมงรังสีอัตโนมัติ และ peng PV/T ดังแสดงในรูปที่ 3.3 โดยให้แสงทำมุมอิ่งดั้งเด่น 16° วางในแนวเหนือใต้เพื่อให้สามารถรับรังสีครองได้มากที่สุดแล้ว สายเทอร์โนคัปเปิลก็ได้ออกทำการคิดดั้งเข้าที่คำแห่งจ่างๆ ได้แก่ คำแห่งวันค่าอุณหภูมิแวดล้อม (T_a) คำแห่งวัดค่าอุณหภูมน้ำเข้าเมง PV/T (T_{pv}) คำแห่งอุณหภูมิของ PV/T ($T_{pv,T}$) คำแห่งอุณหภูมน้ำเข้าเมง PV/T (T_{in}) คำแห่งอุณหภูมิ เมงรังสีอัตโนมัติ (T_s) และคำแห่งอุณหภูมน้ำออกเมงรังสีอัตโนมัติ (T_{out}) ดังแสดงในรูปที่ 3.5 โดยสายเทอร์โนคัปเปิลจะต่อเข้ากับเครื่องบันทึกข้อมูล ที่เชื่อมต่ออยู่กับคอมพิวเตอร์ผ่านทางพอร์ต RS-232 ค่าแรงดันไฟฟ้าวงจรปิด ค่ากระแสไฟฟ้าวงจรปิด และค่าอื่นๆ ดังที่ได้กล่าวมา ก่อนหน้านี้ ได้ออกทำการบันทึกค่าทุกๆ 10 นาที ตลอดช่วงเวลากลางวันดังต่อไปนี้ 08.00 – 17.00 น.

3.4 การเปรียบเทียบค่าสายเทอร์โนคัปเปิลกับเทอร์โนมิเตอร์

การการเปรียบเทียบค่าสายเทอร์โนคัปเปิลกับเทอร์โนมิเตอร์นี้ ใช้น้ำ ณ อุณหภูมน้ำร้อน น้ำแข็ง เป็นตัวทำการเปรียบเทียบ ผลต่างจากอุณหภูมิเฉลี่ยทั้งสองอยู่ที่ 1.5°C ดังแสดงไว้ในตารางที่ 3.1

ตารางที่ 3.1 ค่าการเปรียบเทียบระหว่างเทอร์โนคัปเปิลกับเทอร์โนมิเตอร์

ชนิด	อุณหภูมน้ำร้อน				
	ครั้งที่ 1	ครั้งที่ 2	ครั้งที่ 3	ครั้งที่ 4	ครั้งที่ 5
เทอร์โนคัปเปิล	90.531	90.53	90.524	90.325	90.321
เทอร์โนมิเตอร์	95.5	95.5	95.4	95.4	95.4
อุณหภูมน้ำแข็ง					
ชนิด	ครั้งที่ 1	ครั้งที่ 2	ครั้งที่ 3	ครั้งที่ 4	ครั้งที่ 5
เทอร์โนคัปเปิล	0.1	0.1	0.1	0.1	0.1
เทอร์โนมิเตอร์	0.095	0.094	0.096	0.094	0.095



รูปที่ 3.10: ภาพการวัดความคลาดเคลื่อนอุปกรณ์

จากการทดลองพบว่าการวัดโคลยเทอร์โนกัปเปิล Type K มีความคลาดเคลื่อน จาก การวัดโคลยใช้เทอร์โนมิเตอร์แบบป্রอท 5.2 %

บทที่ 4

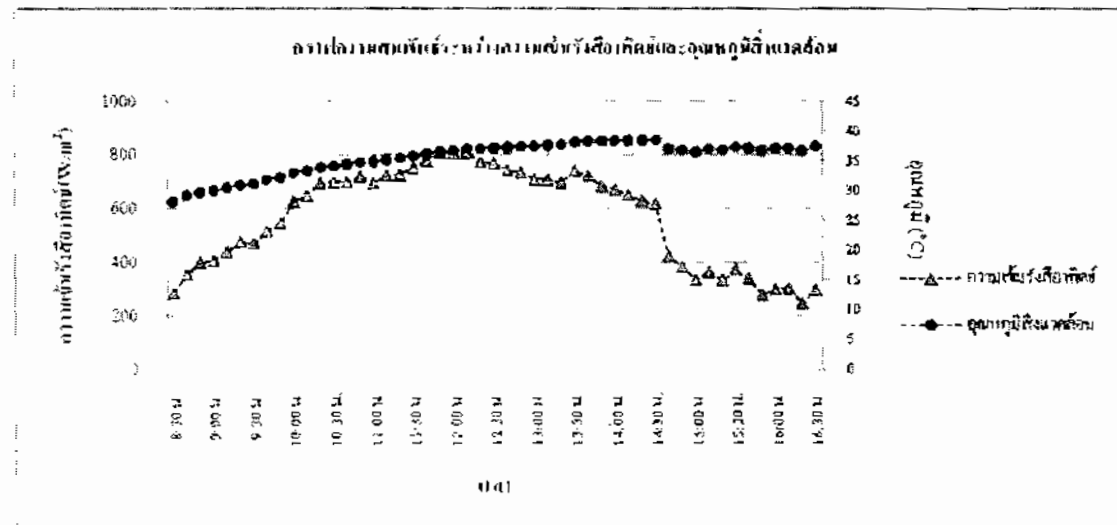
ผลการดำเนินงาน

4.1 ผลการดำเนินงาน

เนื้อหาส่วนนี้เป็นการรายงานผลการศึกษา เรื่องประสิทธิภาพเชิงความร้อนของแผง PV/T ที่ใช้ระบบไอลเวียนแบบบังคับ (Force Flow System :FFS) และแบบอิสระ (Natural Flow System :NFS) โดยได้นำผลการศึกษาหลังจากที่ได้ทำการทดสอบและเก็บข้อมูลค่าดัชนีปลอกต่างๆที่เกี่ยวข้อง ได้แก่ ค่าความเข้มรังสีอาทิตย์ ค่าแรงดันไฟฟ้า ค่ากระแสไฟฟ้า อุณหภูมิเวคลล่อน อุณหภูมน้ำเข้า แผง PV/T อุณหภูมน้ำออกจากแผง PV/T อุณหภูมน้ำออกจากแรงรับรังสี และอุณหภูมน้ำในถังเก็บ ในการทดลองนี้ได้ทำการศึกษาการทำงานของแผง PV/T ที่ใช้ระบบไอลเวียนแบบ FFS และแบบ NFS ซึ่งได้นำเสนอไว้ดังนี้

4.2 ความเข้มรังสีอาทิตย์

ค่าความเข้มรังสีอาทิตย์ที่วัดได้โดยใช้เครื่องมือวัด จากการทดสอบระบบ PV/T ที่ใช้ระบบไอลเวียนแบบ FFS และแบบ NFS ได้นำเสนอไว้ในรูปที่ 4.1 ซึ่งเป็นข้อมูลที่บันทึกทุกๆ 10 นาที จากช่วงเวลา 8.00 นาฬิกา จนถึงเวลา 17.00 นาฬิกา โดยจากรูปจะพบว่าค่าความเข้มรังสีอาทิตย์ที่วัดได้ดังกล่าวมีการเปลี่ยนแปลงอยู่เสมอ อันเนื่องมาจากการที่ฟ้าที่ไปร่วง มีการบดบังรังสีอาทิตย์เกิดขึ้นเพียงเล็กน้อยในบางช่วงเวลา ความเข้มรังสีแสงอาทิตย์สูงสุดในแต่ละวันอยู่ที่เวลาเที่ยงวัน และค่ารังสีอาทิตย์เฉลี่ยตลอดวันของการทดสอบอยู่ที่ 568.68 W/m^2 และอุณหภูมิเวคลล่อนโดยเฉลี่ยเท่ากับ 35.48°C ดังรูปที่ 4.1 แสดงค่าความเข้มรังสีอาทิตย์และอุณหภูมิเวคลล่อน



รูปที่ 4.1 กราฟแสดงค่าความเข้มรังสีอาทิตย์

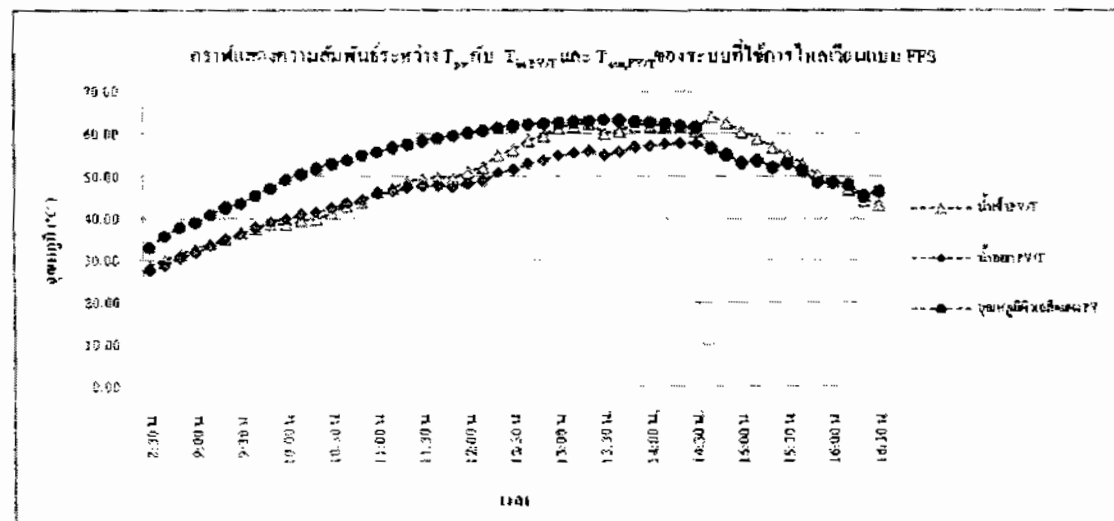
4.3 อุณหภูมิแห่งเซลล์แสงอาทิตย์ อุณหภูมน้ำเข้า PV/T และน้ำออกจาก PV/T

เมื่อแห่งเซลล์แสงอาทิตย์ได้รับพลังงานจากแสงอาทิตย์แล้ว แห่งเซลล์แสงอาทิตย์จะผลิตกระแสไฟฟ้าออกมานา แต่ในขณะเดียวกันพลังงานที่ได้รับก็สูญเสียไปในรูปของความร้อนซึ่งทำให้แห่งเซลล์แสงอาทิตย์ร้อนขึ้นและส่งผลให้อุณหภูมิ PV/T ร้อนขึ้น ในการทดลองอุณหภูมิของ PV/T โดยเฉลี่ยได้แสดงไว้ในตารางที่ 4.1 รูปที่ 4.2 แสดงความสัมพันธ์ระหว่างอุณหภูมิของ แห่งเซลล์รังสีอาทิตย์ กับอุณหภูมน้ำเข้าและ อุณหภูมน้ำออก PV/T สำหรับรูปแบบการไอลวียนแบบ FPS ส่วนแบบ NFS ได้แสดงไว้ในรูปที่ 4.3 โดยการเปรียบเทียบอุณหภูมิแห่งเซลล์แสงอาทิตย์เฉลี่ยกรณี FFS และ NFS ได้แสดงในรูปที่ 4.4

ตารางที่ 4.1 อุณหภูมน้ำเข้า น้ำออกและอุณหภูมิแห่งเซลล์รังสีอาทิตย์โดยเฉลี่ย

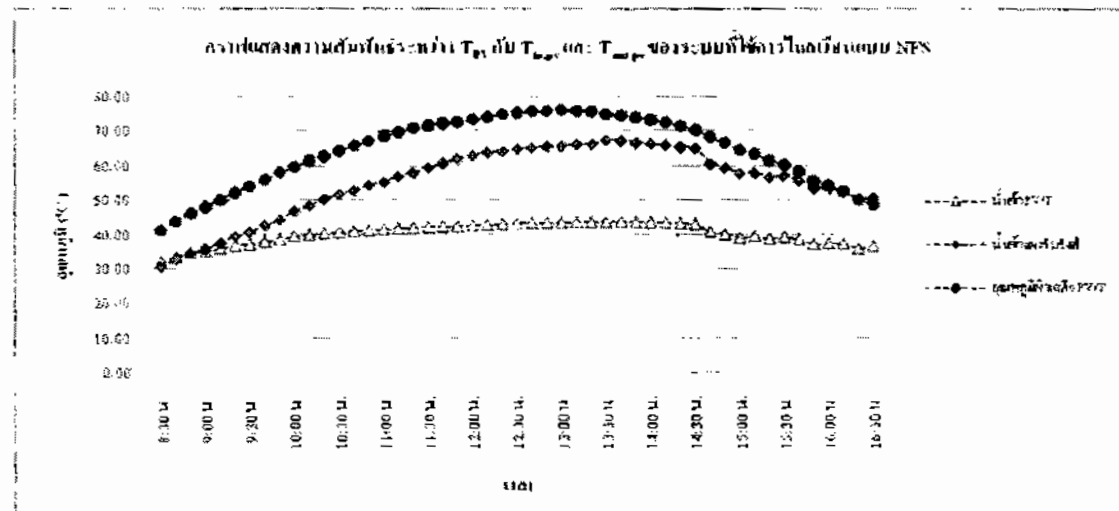
ระบบไอลวียน	น้ำเข้า PV/T	น้ำออก PV/T	อุณหภูมิแห่ง PV
แบบบังคับ	49.74 °C	47.26 °C	53.81 °C
แบบอิสระ	40.29 °C	55.39 °C	64.36 °C

ข้อมูลในตารางที่ 4.1 แสดงให้เห็นว่าอุณหภูมิแห่งเซลล์แสงอาทิตย์ของระบบที่ใช้การไอลวียนแบบ FPS สูงกว่าอุณหภูมิแห่งเซลล์แสงอาทิตย์ของระบบที่ใช้การไอลวียนแบบ NFS

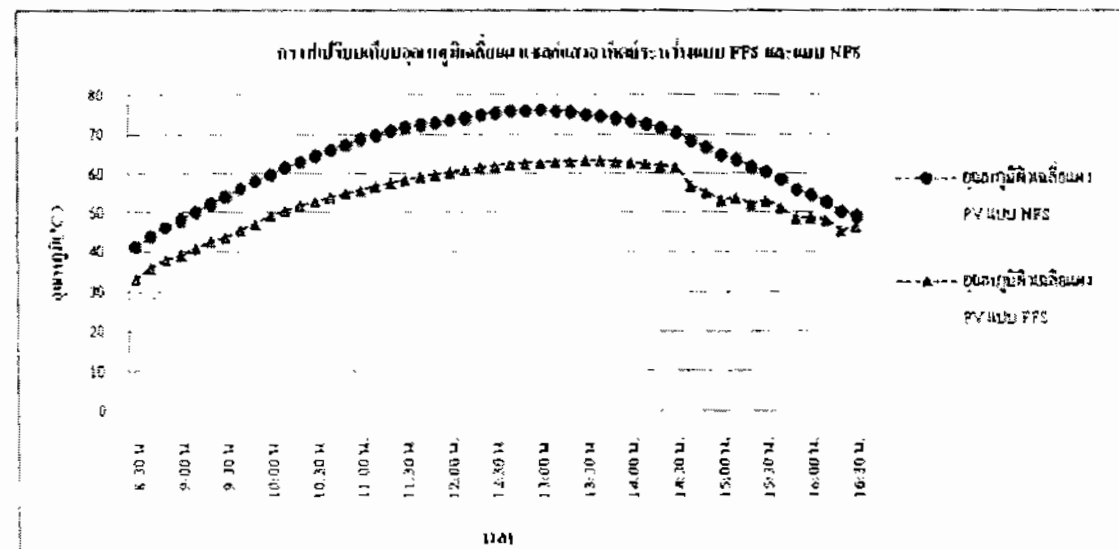


รูปที่ 4.2 กราฟแสดงความสัมพันธ์ระหว่าง T_{pv} กับ $T_{in,PV/T}$ และ $T_{out,PV/T}$ ของระบบที่ใช้การไอลวียนแบบ FFS

จากรูปที่ 4.2 พบว่าอุณหภูมน้ำออกจาก PV/T สูงกว่าน้ำเข้า PV/T เล็กน้อยในช่วงก่อนเที่ยง ซึ่งน้ำมีอุณหภูมิที่ต่ำส่งผลให้แพนเซลล์แสงอาทิตย์อุณหภูมิต่ำลง หลังจากนั้นอุณหภูมน้ำในถังเพิ่มขึ้น โดยนำมีการหมุนเวียนในระบบซึ่งนำรับความร้อนจากแพนรับรังสีอาทิตย์ที่อุณหภูมิสูงกว่า แพนเซลล์แสงอาทิตย์ทำให้อุณหภูมน้ำเข้า PV/T สูงกว่าอุณหภูมิแพนเซลล์แสงอาทิตย์เล็กน้อย

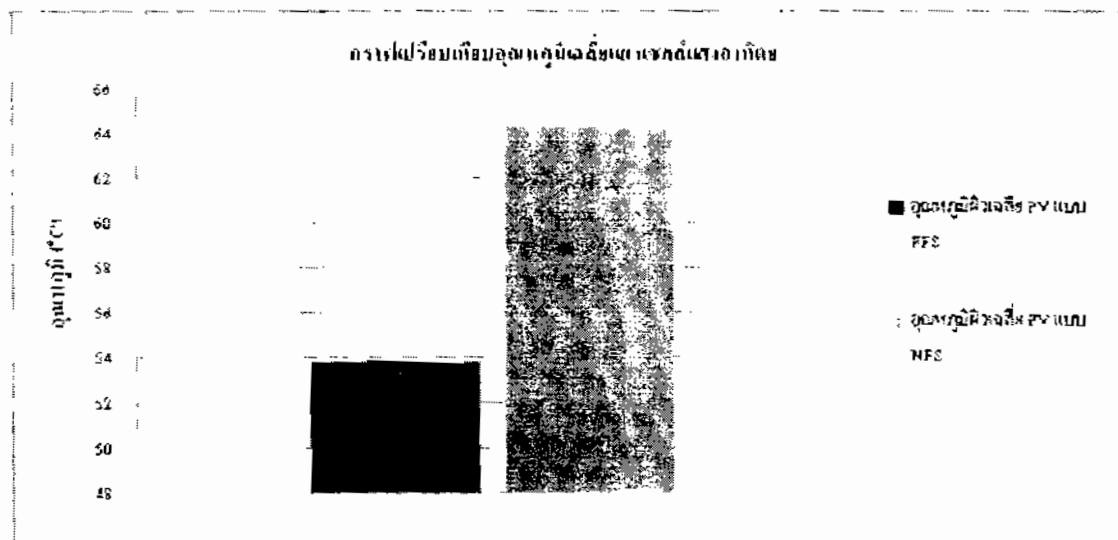


รูปที่ 4.3 กราฟแสดงความสัมพันธ์ระหว่าง T_{PV} กับ $T_{in,pv}$ และ $T_{out,pv}$ ของระบบที่ใช้การไอลเวียนแบบ NFS



รูปที่ 4.4 กราฟเปรียบเทียบอุณหภูมิแพนเซลล์แสงอาทิตย์ระหว่างที่ใช้การไอลเวียนแบบ FFS และแบบ NFS

จากรูปที่ 4.3 พบว่าสำหรับการไฟล์เวิญแบบ NFS น้ำเข้าแห้งรับรังสี สูงกว่าน้ำเข้า PV/T มาก แต่อุณหภูมิของ PV/T ยังสูง เมื่อนำจากน้ำไฟล์เวิญข้ามมา ทำให้ความร้อนสะสมอยู่ในน้ำที่อยู่ใน PV/T ส่งผลให้อุณหภูมิของ PV/T ยังสูง ส่วนข้อมูลจากรูปที่ 4.4 แสดงให้เห็นว่าอุณหภูมิของ PV/T ของระบบแบบ FFS ต่ำกว่าแบบ NFS เมื่อนำจากน้ำในระบบแบบ FFS ไฟล์เวิญลดลงทำให้สามารถดึงความร้อนออกจาก PV/T ได้ดีกว่าแบบ NFS และรูปที่ 4.5 แสดงการเปรียบเทียบ อุณหภูมิเฉลี่ยแห้งเซลล์แสงอาทิตย์ระหว่างใช้การไฟล์แบบ FFS และ NFS จากรูปพบว่าการไฟล์แบบ FFS ทำให้อุณหภูมิเฉลี่ยแห้งเซลล์แสงอาทิตย์ต่ำกว่าแบบ NFS 16.38 %



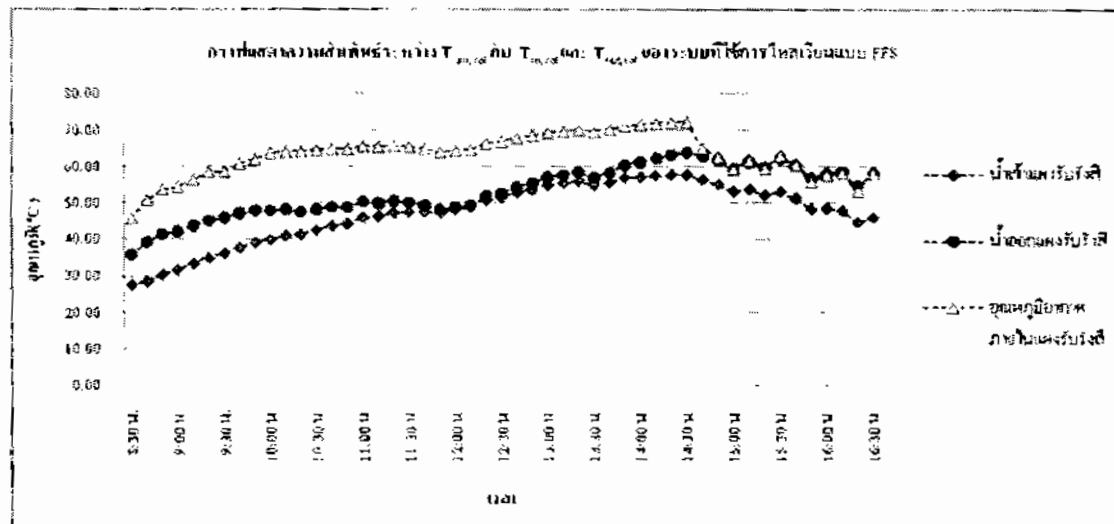
รูปที่ 4.5 กราฟเปรียบเทียบอุณหภูมิเฉลี่ยแห้งเซลล์แสงอาทิตย์ระหว่างที่ใช้การไฟล์เวิญแบบ FFS และแบบ NFS

4.4 อุณหภูมน้ำเข้า อุณหภูมน้ำออกและอุณหภูมิแห้งรับรังสีอาทิตย์

แห้งรับรังสีอาทิตย์เป็นอุปกรณ์ที่ช่วยเพิ่มอุณหภูมิของน้ำที่ออกจาก PV/T โดยตารางที่ 4.2 แสดงอุณหภูมน้ำเข้า น้ำออกและอุณหภูมิแห้งรับรังสีอาทิตย์โดยเฉลี่ย ข้อมูลในตารางแสดงให้เห็นว่าน้ำเข้าแห้งรังสีอาทิตย์ก่อให้เกิดการเปลี่ยนแปลงอุณหภูมิของน้ำออกและอุณหภูมน้ำเข้า ตั้งแต่ 0.5°C ถึง 1.5°C จากรูปที่ 4.6 แสดงความสัมพันธ์ระหว่างอุณหภูมิอากาศภายในแห้งรับรังสีอาทิตย์กับ อุณหภูมน้ำเข้าและอุณหภูมน้ำออกแห้งรับรังสีอาทิตย์

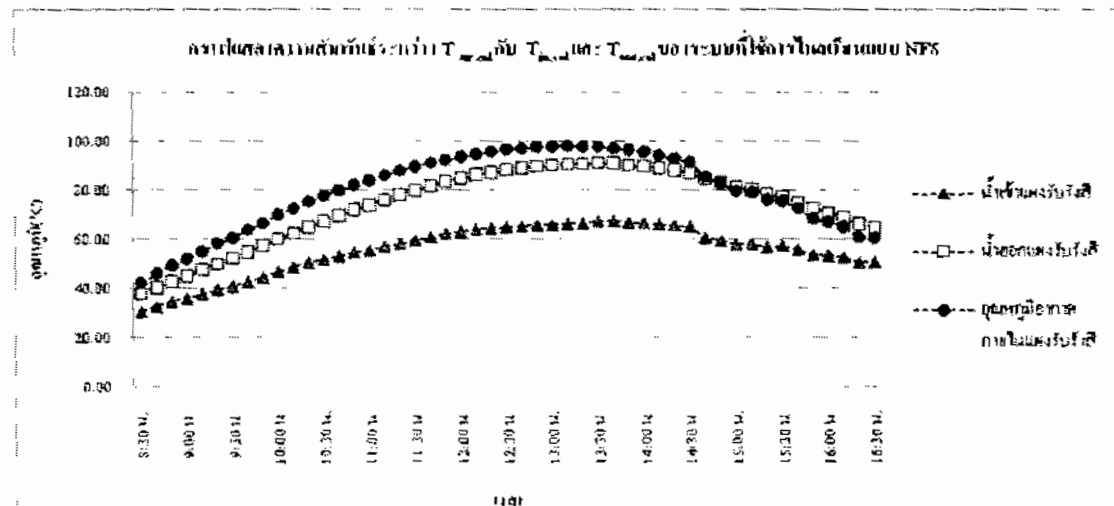
ตารางที่ 4.2 อุณหภูมน้ำเข้า น้ำออกและอุณหภูมิแห่งรับรังสีอาทิดบีโคลเบลล์

ระบบไอลวีเยน	น้ำเข้าแห่งรับรังสี	น้ำออกแห่งรับรังสี	อุณหภูมิแห่งรับรังสี
แบบบังคับ	47.25 °C	53.19 °C	63.26 °C
แบบอิสระ	55.39 °C	73.86 °C	79.21 °C

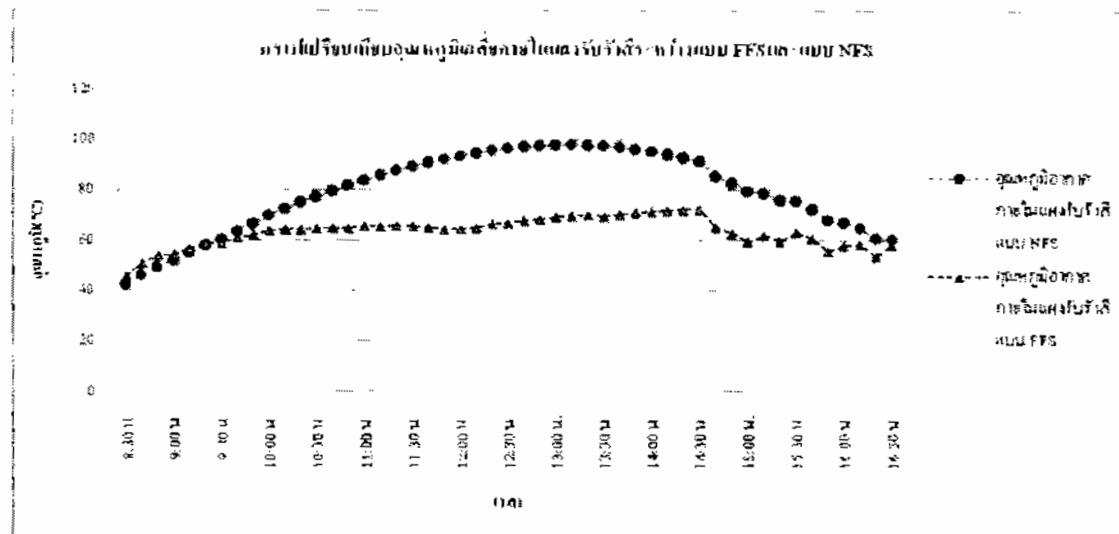


รูปที่ 4.6 กราฟแสดงความสัมพันธ์ระหว่าง $T_{air,col}$ กับ $T_{in,col}$ และ $T_{out,col}$ ของระบบที่ใช้การไอลวีเยนแบบ FFS

จากรูปที่ 4.6 พบว่าอุณหภูมน้ำออกจากแห่งรับรังสีอาทิดบีสูงกว่าน้ำเข้าแห่งรับรังสีอาทิดบีซึ่งแห่งรับรังสีอาทิดบีสามารถเพิ่มอุณหภูมิของน้ำก่อนที่จะออกจากแห่งรับรังสีอาทิดบี

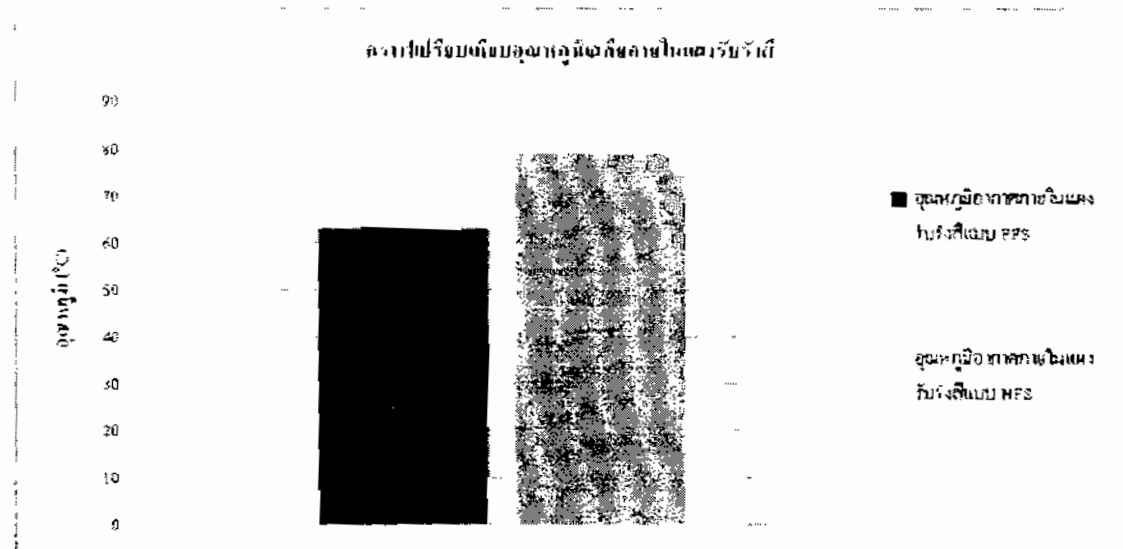


รูปที่ 4.7 กราฟแสดงความสัมพันธ์ระหว่าง $T_{air,col}$ กับ $T_{in,col}$ และ $T_{out,col}$ ของระบบที่ใช้การไอลวีเยนแบบ NFS



รูปที่ 4.8 กราฟเปรียบเทียบอุณหภูมนิภัยในแผงรับรังสีระหว่างที่ใช้การ ไอลเวียนแบบ FFS
และแบบ NFS

รูปที่ 4.7 แสดงความสัมพันธ์ระหว่าง $T_{air,col}$ กับ $T_{in,col}$ และ $T_{out,col}$ ของระบบที่ใช้การ ไอลเวียนแบบ NFS จากรูปพบว่านำเสนอออกແผงรับรังสีอาทิตย์สูงกว่านำเสนอเข้าແผงรับรังสีอาทิตย์มาก แต่ อุณหภูมนิภัยให้ແผงรับรังสีอาทิตย์ซึ่งสูง เนื่องมาจากน้ำไอลเวียนมาก ทำให้ความร้อนสะสมอยู่ ในน้ำที่อยู่ในແผงรับรังสีอาทิตย์ ส่งผลให้อุณหภูมนิภัยให้ແผงรับรังสีอาทิตย์ซึ่งสูง รูปที่ 4.8 เปรียบเทียบอุณหภูมนิภัยในແผงรับรังสีระหว่างที่ใช้การ ไอลเวียนแบบ FFS และแบบ NFS จากรูป พบว่า อุณหภูมนิภัยให้ແผงรับรังสีอาทิตย์ของระบบแบบ FFS ต่ำกว่าแบบ NFS เนื่องมาจากการ ไอลเวียนลดลงทำให้สามารถดึงความร้อนออกจากແผงรับรังสีอาทิตย์ได้ดีกว่า แบบ NFS



รูปที่ 4.9 กราฟเปรียบเทียบอุณหภูมิเฉลี่ยภายในแพลงรับรังสีระหว่างที่ใช้การให้เลวินแบบ FFS และแบบ NFS

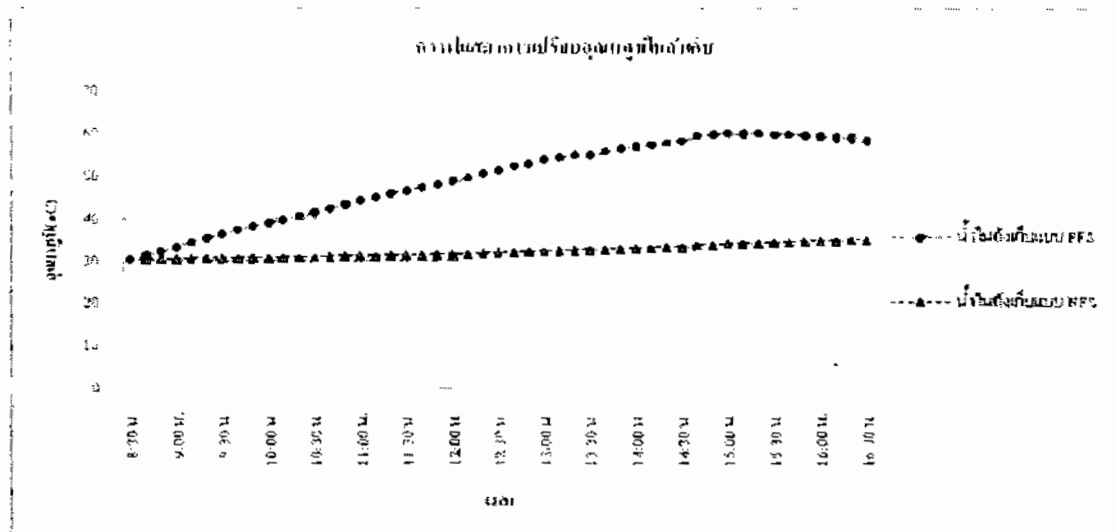
โดยรูปที่ 4.9 แสดงการเปรียบเทียบค่าเฉลี่ยอุณหภูมิภายในแพลงรับรังสีอาทิตย์ระหว่างใช้การให้เลวินแบบ FFS และ NFS จากรูปพบว่าอุณหภูมิเฉลี่ยของแพลงรับรังสีที่ใช้การให้เลวินแบบ FFS ต่ำกว่าแบบ NFS อยู่ 20.14 %

4.5 อุณหภูมน้ำในถังเก็บ

จากการทดลองอุณหภูมน้ำองน้ำในถังเก็บ โดยเฉลี่ยได้แสดงไว้ในตารางที่ 4.3 โดยข้อมูลในตารางแสดงให้เห็นว่าระบบให้เลวินแบบบังคับสามารถลดค่าน้ำร้อนได้อุณหภูมิที่สูงกว่าระบบที่ให้เลวินแบบอิสระและรูปที่ 4.6 กราฟแสดงการเปรียบเทียบอุณหภูมิในถังเก็บระหว่างแบบบังคับ และแบบอิสระ

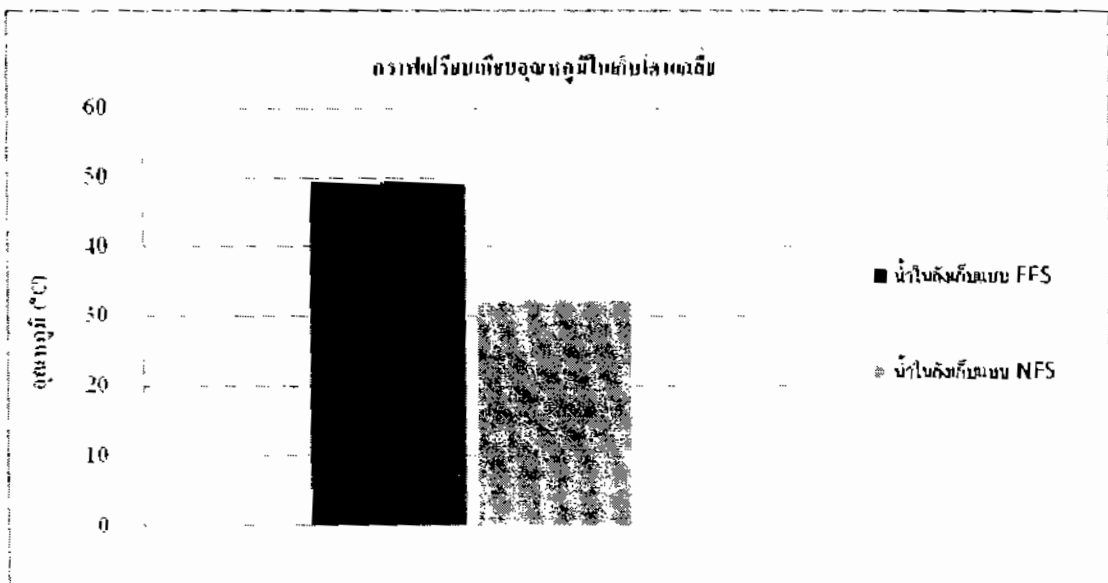
ตารางที่ 4.3 อุณหภูมน้ำในถังเก็บ โดยเฉลี่ย

ระบบให้เลวิน	อุณหภูมน้ำในถัง
แบบบังคับ	49.29 °C
แบบอิสระ	32.40 °C



รูปที่ 4.10 กราฟแสดงการเบร์ยนอุณหภูมิในถังที่ใช้การไหลเวียนแบบ FFS และแบบ NFS

จากรูปที่ 4.10 พบว่าอุณหภูมิกายในถังเก็บของระบบแบบ FFS สูงกว่าระบบแบบ NFS เพราะว่าน้ำในระบบแบบ FFS ไหลเวียนตลอดเวลาทำให้สามารถคงความร้อนออกจาก PV/T และแพลงรับรังสีอาทิตย์ ซึ่งส่งผลให้อุณหภูมนิ่งของน้ำสูงขึ้นก่อนเข้าถังเก็บทำให้อุณหภูมน้ำในถังเก็บสูงขึ้นด้วย โดยที่ 4.11 แสดงให้เห็นว่าอุณหภูมน้ำในถังที่ใช้ระบบการไหลเวียนแบบ FFS มีค่าสูงกว่าแบบ NSF ถึง 34.27%



รูปที่ 4.11 กราฟแท่งแสดงการเบร์ยนอุณหภูมิในถังที่ใช้การไหลเวียนแบบ FFS และแบบ NFS

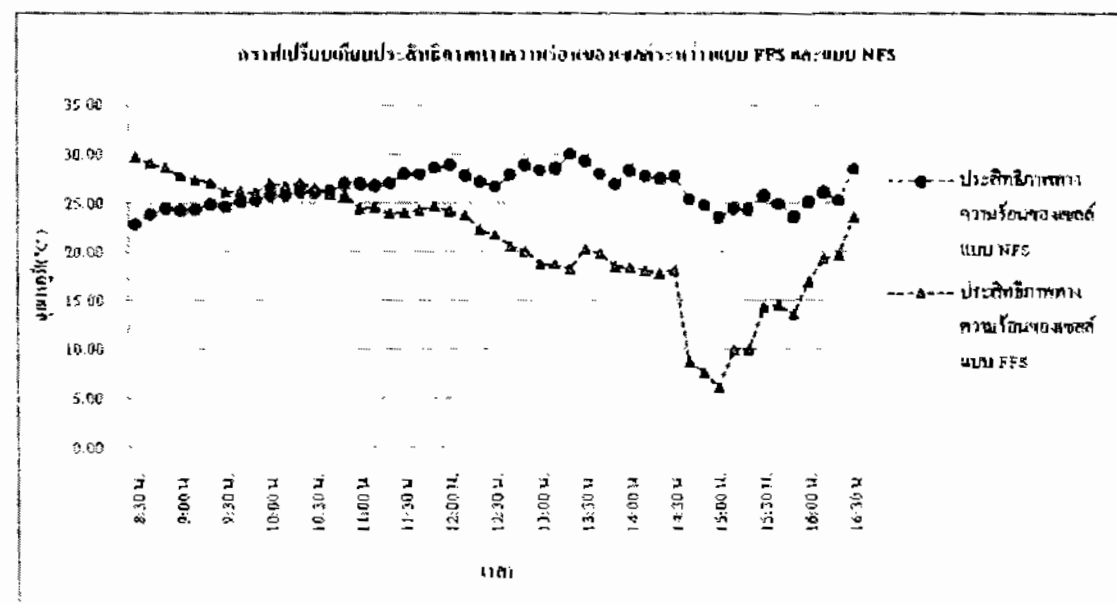
4.6 ประสิทธิภาพการทำงานของความร้อนของระบบ PV/T Solar Collector ที่ใช้ระบบการให้พลังงานแบบ FFS และแบบ NFS

ในส่วนของประสิทธิภาพของระบบทำน้ำร้อนที่ใช้แผง PV/T Solar Collector ที่ใช้ระบบการให้พลังงานแบบ FFS และแบบ NFS นั้น ค่าต่างๆ ที่วัดได้จากการทดลอง ได้นำมาคำนวณหาประสิทธิภาพการทำความร้อนของแผง PV/T และแผงรับรังสีอาทิตย์ โดยใช้สมการในบทที่ 2 โดยผลจากการคำนวณค่าประสิทธิภาพในแต่ละช่วงเวลาของแผงทั้งสองชนิด ได้แสดงไว้ในตารางที่ 4.4

ตารางที่ 4.4 ประสิทธิภาพทางความร้อนโดยเฉลี่ยของระบบ PV/T- Solar Collector โดยเฉลี่ย

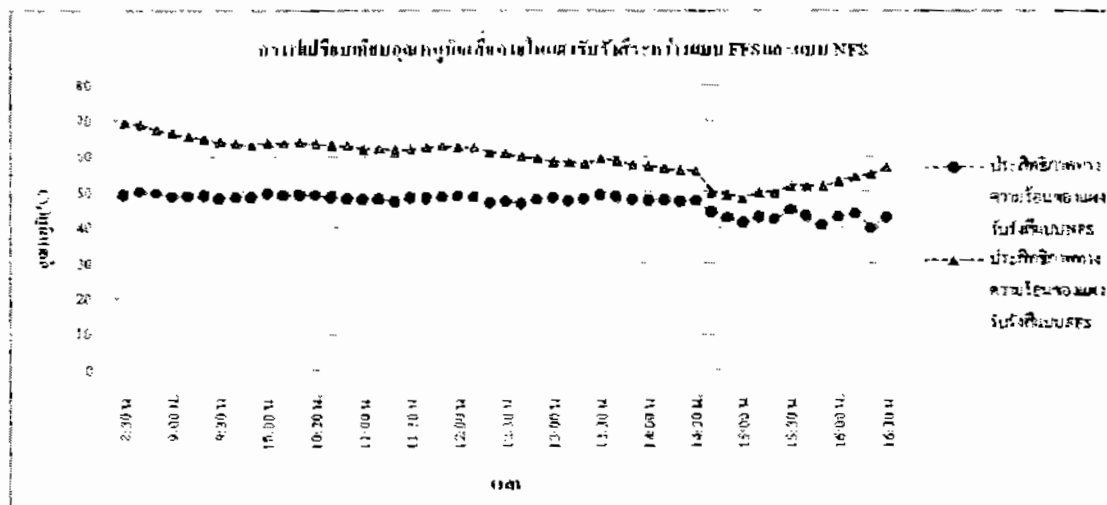
ระบบ ให้พลังงาน	แผงเซลล์แสงอาทิตย์	แผงรับรังสีอาทิตย์	ประสิทธิภาพรวม
แบบบังคับ	21.13%	59.46 %	80.59 %
แบบอิสระ	26.38 %	46.99 %	73.37 %

โดยข้อมูลในการแสดงผลให้เห็นว่าประสิทธิภาพรวมของระบบการให้พลังงานแบบบังคับสูงกว่าการให้พลังงานแบบอิสระทำให้ได้อุณหภูมิของน้ำในถังสูงดังในตารางที่ 4.3



รูปที่ 4.12 กราฟแสดงประสิทธิภาพทางความร้อนของแผง PV/T ที่ใช้ระบบการให้พลังงานแบบ FFS และแบบ NFS

รูปที่ 4.12 แสดงการเปรียบเทียบประสิทธิภาพทางความร้อนของแผง PV/T ที่ใช้ระบบการให้ผลวีญแบบ FFS และแบบ NFS พบว่าประสิทธิภาพทางความร้อนของแผง PV/T ที่ใช้ระบบการให้ผลวีญแบบ FFS มีแนวโน้มที่มีค่าน้อยกว่าเมื่อเปรียบเทียบกับแบบ NFS เนื่องจากช่วงหลังของระบบ FFS แผงเซลล์ซึ่งมีอุณหภูมิต่ำลงเนื่องจากน้ำดึงความร้อนไปใช้และนำเข้าที่ซึ่งมีอุณหภูมิสูงทำให้ประสิทธิภาพที่ได้ค่อนข้างที่จะต่ำกว่าระบบ NFS



รูปที่ 4.13 กราฟแสดงประสิทธิภาพทางความร้อนของแผงรับรังสีอาทิตย์ที่ใช้ระบบการให้ผลวีญแบบ FFS และแบบ NFS

รูปที่ 4.13 แสดงการเปรียบเทียบประสิทธิภาพทางความร้อนของแผง PV/T ที่ใช้ระบบการให้ผลวีญแบบ FFS และแบบ NFS ข้อมูลจากรูปแสดงให้เห็นว่าประสิทธิภาพประสิทธิภาพทางความร้อนของแผงรับรังสีอาทิตย์ที่ใช้ระบบการให้ผลวีญแบบ FFS มีแนวโน้มที่มีค่ามากกว่าเมื่อเปรียบเทียบกับแบบ NFS เนื่องจากระบบ FFS มีการถ่ายโอนความร้อนที่ดีกว่าระบบ NFS ซึ่งเป็นค่าที่ใช้ในการคำนวณหา

อย่างไรก็ตี หากพิจารณาในรูปกราฟที่ 4.12 และ 4.13 จะพบว่า ประสิทธิภาพการเริงความร้อนของแผง PV/T และแผงรับรังสีอาทิตย์ มีแนวโน้มลดลง ทั้งนี้เนื่องมาจากอุณหภูมิของน้ำที่ให้ผลวีญเพิ่มสูงขึ้นจากเช้าไปเย็น ทำให้น้ำดึงความร้อนออกจากแผง ได้น้อยลง แม้ว่าพัดลมที่ติดตั้งบนแผงจะเพิ่มขึ้นใช่ว่าเวลาถูกดึงวันก็ตาม

บทที่ ๕

๕.๑ สรุปผลการดำเนินงาน

ในการศึกษานี้ได้ทำการปรับปรุงระบบทำน้ำอุ่นพลังงานแสงอาทิตย์ให้เหมาะสมต่อการใช้งานในประเทศไทยซึ่งมีศักยภาพทางด้านพลังงานแสงอาทิตย์ขั้นสูง โดยใช้แผง PV/T ใน การผลิตน้ำร้อนร่วมกันกับแผงรับรังสีอาทิตย์ (solar collector) และทำการศึกษาศักยภาพการทำน้ำอุ่นของเมืองท่าน้ำร้อนที่ได้ออกแบบรวม ทั้งศึกษาประสิทธิภาพระบบผลิตน้ำร้อนด้วยแผง PV/T ที่ใช้ระบบการให้เลวี่ยนแบบ FFS และแบบ NFS ทำการคิดตั้งทำงานที่ 16 องศา จากการศึกษาพบว่า ในช่วงการทำงานนี้ค่าความเข้มรังสีอาทิตย์เฉลี่ยเท่ากับ 568.68 W/m^2 โดยระบบที่ใช้การให้เลวี่ยนแบบ FFS และแบบ NFS สามารถผลิตน้ำร้อนออกอุณหภูมิกึ่งไว้ในถังเก็บน้ำร้อนได้สูงสุดถึง 60.07°C และ 35.18°C ตามลำดับ จากการวิเคราะห์ประสิทธิภาพการทำน้ำพบว่า ประสิทธิภาพการทำความร้อนของแผง PV/T ทั้งระบบแบบ FFS และแบบ NFS มีค่าโดยเฉลี่ยอยู่ที่ 21.13 % และ 26.37% ตามลำดับ ส่วนประสิทธิภาพการทำความร้อนของแผงรับรังสีอาทิตย์ของระบบแบบ FFS และแบบ NFS มีค่าโดยเฉลี่ยอยู่ 59.46 % และ 46.99 % ทำให้ประสิทธิภาพทางความร้อนรวมของระบบ PV/T Solar Collector ทำให้ระบบการให้เลวี่ยนแบบ FFS และ NFS มีค่าเท่ากับ 80.59 % และ 73.37% ตามลำดับ จากการศึกษาดังกล่าวพบว่าระบบให้เลวี่ยนแบบ FFS มีอุณหภูมิแพงเซลล์แสงอาทิตย์ต่ำกว่าแบบ NFS ถึง 16.38 % และมีประสิทธิภาพในการผลิตน้ำร้อนสูงกว่าที่ใช้ระบบการให้เลวี่ยนแบบ NFS เนื่องจากสามารถผลิตน้ำร้อนมากกว่าในถังเก็บน้ำร้อนมากกว่าระบบแบบ NFS ถึง 16.89°C ระบบให้เลวี่ยนแบบ FFS จึงมีประสิทธิภาพในการลดอุณหภูมิแพงเซลล์รังสีอาทิตย์และประสิทธิภาพในการผลิตน้ำร้อนมากกว่าระบบให้เลวี่ยนแบบ NFS

5.2 ข้อเสนอแนะ

- ในการศึกษาครั้งต่อไปควรใช้แผน PV/T และแผนรับรังสีที่มีขนาดพื้นที่มากกว่าเดิมเพื่อเพิ่มประสิทธิภาพในการผลิตกระแสไฟฟ้าและน้ำร้อนให้ได้มากยิ่งขึ้น
- ควรเลือกสถานที่ในการรับแสงอาทิตย์ได้ตลอดทั้งวันตั้งแต่เวลา 06.00 – 18.00 น.

បរទាន់ក្រសួង

บรรณานุกรม

อนุสรณ์ แสงประจักษ์. อิทธิพลของอุณหภูมิเมฆเชลล์แสดงอาทิตย์ที่สูงนาคต่อค่าแรงดันไฟฟ้า
วงจรไฟคงเหลือแสดงอาทิตย์ที่ผลิตในประเทศไทย. รายงานการวิจัยมหาสารคาม :
 มหาวิทยาลัยมหาสารคาม มหาสารคาม, 2550.

P.Schirmer et all, *Experimental investigation of the performance of the solar tunnel drying bananas*, Renewable Energy Vol.7, No.2, pp. 119-129, 1996.

Volker Quasching, *Understanding Renewable Energy System*, Eaathscan, UK, 2001.

Al-Sabouuchi A.M., *Effect of ambient temperature on the demanded energy of solar cell at different inclinations*, Renewable Energy, Vol.14,Nos.1-4,pp.149-155, 1998

T. Minemoto, S. Nagae, H. Takakura. *Impact of spectral irradiance distribution and temperature on the outdoor performance of Amorphous Si photovoltaic modules*, Solar Cells, Vol. 91, (2007), pp. 919-923.

Singthong Pattanasetthanon, Charoenporn Lertsatitthanakorn, Surat Atthajariyakal and Somechart Soponronnarit, *All sky modeling daylight availability and illuminance/irradiance on Horizontal plane for Mahasarakham, Thailand.* Energy Conversion and Management, Volume 48, Issue 5, May 2007, Pages 1601-1614.

J.Khedari, A.Sangprajak, J.Hirulabh, *Thailand climatic zones*, Renewable Energy 25 (2002) 267 - 280.

ภาคผนวก ก
ตัวอย่างการคำนวณ

ตัวอย่างการคำนวณ

จากผลการทดลองในระบบแบบอิสระภาคผนวก X เวลา 12.00 น. ค่าความเข้มรังสีอาทิตย์เท่ากับ 805.95 W/m^2 กระแสไฟฟ้าเท่ากับ 6.00 A แรงดันไฟฟ้าเท่ากับ 16.18 V อุณหภูมิแวดล้อมอุณหภูมนิ่นเข้าແงะ PV/T อุณหภูมนิ่น้ออกจากແง PV/T เท่ากับ 36.74°C 39.44°C และ 50.07°C ตามลำดับ

วิธีการคำนวณ

โดยใช้สมการเกี่ยวกับແง PV/T แบบพสมพسانในบทที่ 2 ดังนี้ (Dubey and Tiwari, 2008)

ประสิทธิภาพทางความร้อนของเซลล์แสงอาทิตย์

$$\eta_i = F_{Rm} \left(PF(\alpha\tau)_{m,eff} - U_{L,m} \frac{(T_f - T_a)}{I(t)} \right)$$

$$F_{Rm} PF(\alpha\tau)_{m,eff} = 0.3$$

$$F_{Rm} U_{L,m} = 3.3 \text{ W/m}^2 \text{ K}$$

$$\eta_i = 0.3 - 3.3 \left(\frac{T_f - T_a}{I(t)} \right)$$

$$= 0.3 - 3.3 \text{ W/m}^2 \text{ K } ((316.62 \text{ K} - 309.99 \text{ K}) / 805.95 \text{ W/m}^2)$$

$$= 0.28.89$$

$$= 28.89\%$$

อัตราการถ่ายโอนพลังงานความร้อนของແงรับรังสี

$$\begin{aligned} \dot{Q}_{u,c} &= A_c F_{Rc} ((\alpha\tau)_{c,eff} I(t) - U_{L,c} (T_{lo3} - T_a)) \\ &= 0.6566 \text{ m}^2 \times 0.77 \times ((0.9 \times 0.95 \times 805.95 \text{ W/m}^2) - 5 \text{ W/m}^2 \text{ K} \times (326.09 \text{ K} - 307.95 \text{ K})) \\ &= 258.36 \text{ W} \end{aligned}$$

ประสิทธิภาพทางความร้อนของແงรับรังสี

$$\begin{aligned} \eta_i &= \frac{\dot{Q}_{u,m}}{N_c A_c I(t)} \\ &= 258.36 \text{ W} / (1 \times 0.6566 \text{ m}^2 \times 805.95 \text{ W/m}^2) \\ &= 0.4882 \\ &= 48.82\% \end{aligned}$$

ตารางสัญลักษณ์การคำนวณ

สัญลักษณ์	ความหมาย
$\dot{Q}_{n,m}$	อัตราการถ่ายเทความร้อนออกจากแผง PV/T
A_{in}	พื้นที่ของแผงเซลล์แสงอาทิตย์
F_{Rn}	ค่าการถ่ายเทความร้อน (heat removal factor)
PF	ค่า packing factor
$\alpha_{c,eff}$	ค่าสัมประสิทธิ์การดูดกลืนรังสีความร้อน (absorbtance coefficient)
$\tau_{n,eff}$	ค่าสัมประสิทธิ์การส่องผ่าน (transmittance)
$I(t)$	ค่าความเข้มรังสีอาทิตย์
$U_{L,m}$	ค่าสัมประสิทธิ์การถ่ายเทความร้อนรวมของแผง PV/T
T_f	ค่า อุณหภูมน้ำแข็ง PV/T T_a คือ อุณหภูมิเวคล้อง
$\dot{Q}_{n,c}$	อัตราการถ่ายเทความร้อนออกจากแผง PV/T
A_c	พื้นที่ของแผงรับรังสีอาทิตย์
N_c	จำนวนแผง
F_{Rc}	ค่าการถ่ายเทความร้อน (heat removal factor)
$\alpha_{c,eff}$	ค่าสัมประสิทธิ์การดูดกลืนรังสีความร้อน (absorbtance coefficient)
ϵ_0	ค่าสัมประสิทธิ์การส่องผ่าน (transmittance)
$T_{c,eff}$	ค่าความเข้มรังสีอาทิตย์
$I(t)$	ค่าความเข้มรังสีอาทิตย์
$U_{L,c}$	ค่าสัมประสิทธิ์การถ่ายเทความร้อนรวมของแผง
$T_{f,02}$	ค่า อุณหภูมน้ำแข็งรับรังสีอาทิตย์
T_a	อุณหภูมิเวคล้อง

ภาคผนวก ฯ

ข้อมูลผลการทดสอบ

ข้อมูลที่ได้จากการหาความสัมพันธ์ของ PV/T ที่ใช้ระบบไอลเวียนแบบบังคับ

เวลา	ความเข้ม รังสี(W/m ²)	อุณหภูมิ ณ จุดต่างๆ (°C)						
		T _{in,PV,T}	T _{PV}	T _{out,PV,T}	T _{in,col}	T _{out,col}	T _{tank}	T _a
8:30 น.	284.2	28.62	29.88	27.64	45.74	35.82	30.38	28.36
8:40 น.	353.75	30.18	32.19	28.61	50.70	39.16	31.32	29.15
8:50 น.	400.5	31.47	33.99	30.52	53.81	41.31	32.28	29.75
9:00 น.	405.5	32.80	35.07	31.81	54.42	42.23	33.33	30.02
9:10 น.	439.55	34.05	36.61	33.47	56.55	43.80	34.31	30.51
9:20 น.	475.35	35.22	38.13	35.06	58.54	45.19	35.26	31.00
9:30 น.	470.55	36.77	39.07	36.27	58.67	45.93	36.34	31.19
9:40 น.	516.25	37.77	40.65	37.81	60.80	47.17	37.24	31.76
9:50 น.	546.6	38.87	41.96	39.13	62.07	48.01	38.17	32.21
10:00 น.	628.1	38.68	43.48	40.00	63.74	47.93	38.83	32.98
10:10 น.	648.65	39.74	44.50	40.99	64.15	48.25	39.75	33.35
10:20 น.	695	39.96	45.46	41.46	64.21	47.65	40.50	33.86
10:30 น.	699.1	41.45	46.38	42.54	64.50	48.24	41.48	34.11
10:40 น.	699.05	43.11	47.28	43.67	64.84	48.96	42.47	34.34
10:50 น.	719.75	44.03	48.09	44.32	64.84	48.87	43.31	34.69
11:00 น.	695.8	46.61	49.00	45.91	65.57	50.47	44.43	34.78
11:10 น.	723.2	47.22	49.72	46.33	65.44	50.08	45.18	35.17
11:20 น.	725.9	48.76	50.47	47.25	65.72	50.62	46.08	35.41
11:30 น.	749.95	49.33	51.06	47.54	65.45	50.16	46.79	35.77
11:40 น.	776.25	49.66	51.54	47.61	64.94	49.43	47.45	36.14
11:50 น.	807.75	49.58	51.84	47.32	64.02	48.24	48.02	36.53
12:00 น.	805.95	50.99	52.46	48.15	64.41	48.89	48.84	36.74
12:10 น.	806.5	52.19	53.00	48.85	64.70	49.40	49.61	36.96
12:20 น.	772.05	55.09	53.89	50.78	66.35	51.92	50.67	36.99
12:30 น.	767.6	56.33	54.40	51.56	66.81	52.69	51.43	37.18

เวลา	ความเข้ม รังสี(W/m ²)	อุณหภูมิ ณ จุดต่างๆ (°C)						
		T _{in,PV T}	T _{PV}	T _{out,PV T}	T _{att,col}	T _{out,col}	T _{tank}	T _a
12:40 น.	742.45	58.50	55.01	52.95	67.88	54.53	52.33	37.24
12:50 น.	734.45	59.62	55.43	53.71	68.39	55.44	53.05	37.40
13:00 น.	707.35	61.52	55.88	54.94	69.27	57.20	53.89	37.44
13:10 น.	706.9	61.85	56.14	55.35	69.58	57.71	54.47	37.64
13:20 น.	695.95	62.50	56.38	55.95	70.05	58.64	55.10	37.77
13:30 น.	740.15	60.10	56.33	54.95	69.44	57.00	55.20	38.25
13:40 น.	722.7	60.68	56.54	55.66	70.16	58.29	55.80	38.33
13:50 น.	682.85	62.13	56.71	56.83	71.10	60.46	56.55	38.27
14:00 น.	670.3	61.97	56.70	57.15	71.50	61.32	57.01	38.37
14:10 น.	650.45	61.91	56.61	57.50	71.86	62.36	57.48	38.42
14:20 น.	628.65	61.69	56.42	57.75	72.08	63.34	57.91	38.44
14:30 น.	617.5	60.82	56.20	57.71	72.28	63.93	58.21	38.54
14:40 น.	419.6	64.13	53.03	56.42	65.09	63.08	59.57	37.01
14:50 น.	379.3	62.60	51.74	55.08	62.62	61.76	59.85	36.79
15:00 น.	332.75	60.63	50.10	53.23	59.34	59.64	60.08	36.48
15:10 น.	361.5	58.93	50.59	53.73	61.78	61.36	59.99	36.94
15:20 น.	330.65	56.86	49.30	52.22	59.60	59.91	60.06	36.78
15:30 น.	372.9	55.11	50.05	52.99	63.06	62.25	59.82	37.37
15:40 น.	337.7	53.04	48.59	51.29	60.58	60.58	59.80	37.16
15:50 น.	277.2	50.47	46.21	48.41	55.71	56.95	59.76	36.66
16:00 น.	298.4	48.84	46.34	48.52	57.73	58.42	59.46	37.04
16:10 น.	301.7	47.00	45.85	47.88	58.20	58.68	59.16	37.22
16:20 น.	244.45	44.39	43.42	44.85	53.32	54.79	58.93	36.72
16:30 น.	296.7	43.31	44.42	46.03	58.14	58.39	58.42	37.44
เฉลี่ย	568.68	49.74	48.45	47.26	63.26	53.19	49.29	35.48

ข้อมูลที่ได้จากการหาความสัมพันธ์ของ PV/T ที่ใช้ระบบไอลเวียนแบบอิสระ

เวลา	ความเข้ม รังสี(W/m ²)	อุณหภูมิ ณ จุดต่างๆ (°C)						T _a
		T _{in,PV-T}	T _{PV}	T _{out,PV-T}	T _{air,col}	T _{out,col}	T _{tank}	
8:30 น.	284.2	32.03	36.80	30.48	42.34	37.97	30.46	29.90
8:40 น.	353.75	33.59	38.59	32.65	46.06	40.40	30.45	30.60
8:50 น.	400.5	34.68	40.25	34.54	49.31	42.79	30.48	31.16
9:00 น.	405.5	35.14	41.83	35.89	51.78	45.07	30.57	31.60
9:10 น.	439.55	35.98	43.43	37.65	54.84	47.50	30.62	32.09
9:20 น.	475.35	36.80	44.98	39.46	57.93	49.96	30.66	32.55
9:30 น.	470.55	37.11	46.52	40.70	60.29	52.28	30.77	32.95
9:40 น.	516.25	37.97	47.99	42.68	63.54	54.83	30.80	33.38
9:50 น.	546.6	38.61	49.40	44.43	66.46	57.31	30.85	33.77
10:00 น.	628.1	39.52	50.51	46.88	69.87	60.02	30.83	34.07
10:10 น.	648.65	39.94	51.80	48.48	72.45	62.45	30.90	34.39
10:20 น.	695	40.40	52.82	50.40	75.09	64.96	30.93	34.62
10:30 น.	699.1	40.71	54.08	51.75	77.41	67.25	31.02	34.94
10:40 น.	699.05	41.01	55.33	53.02	79.65	69.47	31.12	35.27
10:50 น.	719.75	41.31	56.33	54.53	81.85	71.73	31.19	35.51
11:00 น.	695.8	41.55	57.66	55.41	83.83	73.72	31.32	35.89
11:10 น.	723.2	41.83	58.46	56.95	85.85	75.86	31.38	36.09
11:20 น.	725.9	42.07	59.41	58.10	87.68	77.80	31.47	36.35
11:30 น.	749.95	42.28	60.05	59.50	89.39	79.74	31.54	36.51
11:40 น.	776.25	42.44	60.55	60.87	90.89	81.58	31.60	36.64
11:50 น.	807.75	42.53	60.87	62.25	92.13	83.33	31.65	36.70
12:00 น.	805.95	42.71	61.52	63.15	93.41	84.79	31.75	36.93
12:10 น.	806.5	42.87	62.06	64.01	94.52	86.13	31.85	37.12
12:20 น.	772.05	43.12	62.96	64.35	95.66	87.16	32.00	37.48
12:30 น.	767.6	43.26	63.37	65.01	96.45	88.18	32.10	37.67

เวลา	ความเข้ม รังสี(W/m ²)	อุณหภูมิ ฯ จุดต่างๆ (°C)						
		T _{in,PV}	T _{PV}	T _{out,PV}	T _{ari,col}	T _{out,col}	T _{tank}	T _a
12:40 น.	742.45	52.48	63.93	65.29	97.10	88.94	32.24	37.94
12:50 น.	734.45	53.20	64.18	65.74	97.54	89.62	32.35	38.11
13:00 น.	707.35	54.38	64.53	65.81	97.73	90.03	32.49	38.34
13:10 น.	706.9	54.72	64.50	66.23	97.80	90.43	32.59	38.44
13:20 น.	695.95	55.24	64.47	66.39	97.65	90.59	32.70	38.57
13:30 น.	740.15	54.14	63.77	67.36	97.47	90.90	32.74	38.48
13:40 น.	722.7	54.75	63.63	67.28	96.98	90.69	32.86	38.60
13:50 น.	682.85	55.78	63.58	66.72	96.18	90.18	33.02	38.78
14:00 น.	670.3	55.96	63.16	66.53	95.28	89.66	33.14	38.84
14:10 น.	650.45	56.15	62.70	66.12	94.13	88.93	33.27	38.90
14:20 น.	628.65	56.20	62.14	65.59	92.76	88.02	33.40	38.94
14:30 น.	617.5	55.98	61.41	65.18	91.33	87.02	33.51	38.93
14:40 น.	419.6	54.12	60.99	60.70	85.50	84.58	33.91	38.80
14:50 น.	379.3	52.50	59.93	59.40	82.68	83.07	34.07	38.61
15:00 น.	332.75	50.35	58.71	57.87	79.43	81.37	34.24	38.36
15:10 น.	361.5	50.73	57.70	58.11	78.76	80.13	34.29	38.38
15:20 น.	330.65	48.97	56.40	56.83	75.89	78.31	34.44	38.14
15:30 น.	372.9	49.61	55.30	57.26	75.41	76.93	34.47	38.18
15:40 น.	337.7	47.65	53.87	55.77	72.27	74.87	34.63	37.90
15:50 น.	277.2	44.50	52.23	53.61	68.15	72.54	34.82	37.46
16:00 น.	298.4	44.44	50.95	53.38	66.82	70.72	34.88	37.39
16:10 น.	301.7	43.61	49.53	52.66	64.79	68.70	34.98	37.22
16:20 น.	244.45	40.39	47.74	50.46	60.71	66.19	35.16	36.71
16:30 น.	296.7	41.40	46.53	50.80	60.23	64.38	35.18	36.78
เฉลี่ย	568.68	40.28	55.70	55.39	79.21	73.86	32.40	36.35

ผลการทดลองจริงที่วัดได้จากแผง PV/T ที่ใช้ระบบไฮดรีบินแบบบังคับ

เวลา	ความเข้ม รังสี(W/m ²)	อุณหภูมิ ณ จุดต่างๆ (°C)						T _a
		T _{m,PV-T}	T _{PV}	T _{out,PV-T}	T _{an,col}	T _{out,col}	T _{tank}	
8:30 น.	366.4	30.00	38.91	30.92	50.78	36.86	30.27	31.82
8:40 น.	410.2	31.10	41.46	32.40	55.64	37.87	30.35	31.60
8:50 น.	411.8	32.86	42.21	33.64	57.05	38.14	30.36	32.48
9:00 น.	409.4	34.59	44.60	35.03	62.67	40.17	30.40	33.34
9:10 น.	439.4	35.40	44.19	36.23	60.32	38.96	30.41	31.98
9:20 น.	480.9	37.03	45.36	37.70	61.31	40.61	30.42	33.17
9:30 น.	475.8	37.82	46.56	39.49	62.96	44.05	30.42	33.14
9:40 น.	497.6	38.20	45.96	40.61	61.53	46.69	30.46	32.57
9:50 น.	531.3	38.95	49.27	41.84	68.33	48.44	30.46	34.22
10:00 น.	663.3	39.38	47.45	43.13	63.60	51.45	30.50	33.97
10:10 น.	696.9	40.89	52.57	45.09	73.05	51.52	30.52	34.73
10:20 น.	762.3	34.47	57.50	34.59	69.05	35.16	34.20	35.97
10:30 น.	786.3	36.44	58.81	36.72	62.60	37.25	36.49	36.33
10:40 น.	770.1	38.19	57.59	38.34	59.84	38.72	38.14	36.06
10:50 น.	756	39.53	56.25	39.62	60.30	40.09	39.47	35.87
11:00 น.	777.1	40.92	57.65	41.12	59.60	41.52	40.97	38.67
11:10 น.	750.8	41.23	56.48	41.57	59.73	44.21	41.59	36.05
11:20 น.	762.5	43.16	58.92	43.36	61.51	43.77	43.20	36.92
11:30 น.	827.6	44.54	60.68	44.74	64.01	45.10	44.60	37.65
11:40 น.	897.9	46.15	65.50	46.37	67.59	46.74	46.22	38.88
11:50 น.	878.5	47.55	65.77	47.76	68.34	48.09	47.61	39.79
12:00 น.	880.5	49.23	66.59	49.37	65.54	49.66	49.20	39.19
12:10 น.	885.5	50.41	62.24	50.25	66.29	50.58	50.22	38.89
12:20 น.	820.5	51.45	64.47	51.38	68.26	51.77	51.34	37.77
12:30 น.	812.9	52.65	65.49	52.54	69.00	52.88	52.50	37.35

เวลา	ความเข้ม รังสี(W/m ²)	อุณหภูมิฯ จุดต่างๆ (°C)						
		T _{in,PV,T}	T _{PV}	T _{out,PV,T}	T _{an,col}	T _{out,col}	T _{tank}	T _a
12:40 น.	827.3	53.65	67.44	53.62	72.36	54.04	53.60	37.95
12:50 น.	786.5	54.80	68.91	54.84	72.91	55.22	54.80	40.44
13:00 น.	818.1	56.11	70.14	55.99	74.78	56.42	55.99	41.59
13:10 น.	804.6	57.13	67.67	56.95	75.02	57.36	56.99	39.62
13:20 น.	728.6	57.87	65.91	57.87	71.28	58.15	57.95	40.83
13:30 น.	793.7	58.63	66.52	58.60	73.70	58.94	58.64	40.44
13:40 น.	762.9	59.35	68.06	59.45	74.51	59.79	59.47	45.00
13:50 น.	693	60.26	65.88	60.07	73.45	60.39	60.14	38.48
14:00 น.	712.7	60.66	64.27	60.49	72.59	60.83	60.62	39.19
14:10 น.	687.8	61.08	66.19	61.18	72.86	61.52	61.27	39.37
14:20 น.	656.3	61.73	65.63	61.65	72.61	61.99	61.76	39.95
14:30 น.	659.9	62.08	65.38	62.07	72.29	62.43	62.16	42.76
14:40 น.	611.9	62.46	65.93	62.53	72.67	62.82	62.60	40.00
14:50 น.	563.6	62.81	66.23	62.89	70.81	63.13	62.95	40.03
15:00 น.	507.7	57.35	61.79	60.55	67.72	64.12	62.86	39.44
15:10 น.	569.1	54.94	61.67	58.57	71.45	68.65	62.73	39.78
15:20 น.	499.4	53.63	61.60	57.43	71.66	72.27	62.59	40.10
15:30 น.	418.6	51.96	59.39	56.95	70.33	73.52	62.40	38.88
15:40 น.	463	50.41	56.20	55.88	70.48	70.99	62.24	39.66
15:50 น.	376.2	48.48	52.71	54.69	62.81	69.20	62.02	38.16
16:00 น.	301.8	47.16	49.61	53.22	60.40	64.53	61.83	38.44
16:10 น.	322.5	46.03	48.65	51.66	58.62	61.61	61.63	38.42
16:20 น.	244.1	45.28	48.94	50.52	59.34	60.14	61.44	39.80
16:30 น.	360.3	44.66	51.23	49.91	63.15	61.14	61.30	40.40
เฉลี่ย	631.04	47.77	57.93	49.21	66.46	53.05	48.99	37.70

ผลการทดลองชิงที่วัดได้จากแผง PV/T ที่ใช้ระบบไอลวีเย็นแบบอิสระ

เวลา	ความเข้ม รังสี(W/m ²)	อุณหภูมิ ชุดค่างๆ (°C)						
		T _{in,PV/T}	T _{PV}	T _{out,PV T}	T _{an,col}	T _{out,col}	T _{tank}	T _a
8:30 น.	537.6	38.32	47.20	36.47	47.27	46.47	31.85	32.15
8:40 น.	571.6	39.34	49.68	37.83	51.37	49.54	31.97	31.57
8:50 น.	617.5	39.84	51.64	40.09	55.86	54.00	31.95	34.39
9:00 น.	647.2	40.43	54.67	41.63	59.39	55.44	31.94	34.24
9:10 น.	672.8	41.34	56.49	42.68	63.40	58.89	32.04	32.96
9:20 น.	695.7	41.93	59.48	44.66	66.73	60.85	31.93	33.01
9:30 น.	728.3	42.34	60.53	46.31	69.84	63.74	32.14	33.70
9:40 น.	762.7	42.65	62.65	47.69	72.86	65.83	32.11	36.13
9:50 น.	790.3	43.61	64.52	49.31	76.22	67.95	32.19	36.03
10:00 น.	804.6	44.67	66.30	50.47	78.93	68.54	32.30	34.05
10:10 น.	829.4	45.43	66.65	51.64	80.80	71.25	32.27	35.70
10:20 น.	841	46.29	68.67	52.90	82.33	75.68	32.29	36.45
10:30 น.	880.7	46.20	69.42	53.25	84.98	77.80	32.27	36.24
10:40 น.	888.8	46.09	71.92	56.19	86.95	88.11	32.44	38.56
10:50 น.	895.9	43.81	72.12	56.54	86.11	93.35	32.46	37.30
11:00 น.	932.7	42.67	71.41	55.46	86.51	90.11	32.44	35.83
11:10 น.	951.9	42.99	73.94	57.43	88.98	91.93	32.66	35.65
11:20 น.	973.5	42.88	73.50	60.79	84.64	90.09	32.61	35.98
11:30 น.	946.9	41.38	69.88	57.03	85.31	85.04	32.62	35.93
11:40 น.	984.4	40.83	65.15	57.05	79.89	85.36	32.81	37.72
11:50 น.	1004.4	41.01	68.71	56.90	82.16	87.28	32.98	36.45
12:00 น.	1081.5	40.09	67.22	55.93	86.48	83.72	32.96	38.71
12:10 น.	1009.5	42.25	76.91	57.90	92.61	97.83	33.06	38.69
12:20 น.	1097.6	42.30	76.51	63.85	92.92	94.23	33.18	39.55
12:30 น.	1089	46.82	80.36	72.54	94.90	100.09	33.26	38.08

เวลา	กิจกรรม	อุณหภูมิ ณ จุดต่างๆ (°C)						
		$\dot{Q}_{\text{out}} (\text{W/m}^2)$	$T_{\text{in,PV-T}}$	T_{PV}	$T_{\text{out,PV-T}}$	$T_{\text{an,col}}$	$T_{\text{out,col}}$	T_{tank}
12:40 น.	1027.6	42.78	80.85	68.14	93.49	99.70	33.35	39.33
12:50 น.	977	39.30	73.47	60.96	89.33	90.16	33.44	37.69
13:00 น.	971.3	41.58	75.25	65.86	91.49	92.69	33.48	38.40
13:10 น.	943.1	41.56	75.86	64.04	85.21	93.61	33.74	36.25
13:20 น.	978.4	43.97	77.27	71.51	91.49	92.11	33.85	38.83
13:30 น.	849.5	45.36	76.42	72.29	91.40	95.80	33.99	38.62
13:40 น.	895	48.46	78.73	78.59	90.30	99.56	34.35	39.38
13:50 น.	884.2	49.85	79.05	80.98	91.41	99.70	34.47	38.56
14:00 น.	875.2	44.47	76.40	72.68	90.67	95.30	34.67	38.60
14:10 น.	832.3	46.63	77.92	77.30	91.01	93.38	34.84	39.47
14:20 น.	777.7	47.07	75.00	77.57	90.19	91.87	35.17	41.13
14:30 น.	792	46.50	72.48	73.55	88.09	89.17	35.41	40.60
14:40 น.	776.8	46.62	71.66	72.27	87.73	83.77	35.61	39.96
14:50 น.	743	46.88	70.45	70.04	85.31	83.82	35.76	39.71
15:00 น.	702.6	46.61	69.09	66.69	84.31	84.81	35.85	39.43
15:10 น.	659.2	46.73	69.67	65.33	84.04	84.57	35.78	39.59
15:20 น.	635	46.12	66.66	63.94	81.30	82.56	35.79	39.87
15:30 น.	581.5	45.76	66.61	62.71	80.48	81.14	36.00	40.55
15:40 น.	555	46.06	66.22	62.76	79.65	80.02	36.17	40.23
15:50 น.	506.1	45.77	62.63	61.44	75.55	77.69	36.28	40.45
16:00 น.	463.4	44.97	58.91	59.48	71.37	74.79	36.45	39.60
16:10 น.	487.8	43.91	57.78	57.31	69.94	71.86	36.45	41.36
16:20 น.	428.7	43.03	58.98	55.51	66.48	72.42	36.47	40.49
16:30 น.	364.9	40.81	56.02	53.74	64.61	71.22	36.61	39.24
เฉลี่ย	794.75	43.80	68.14	59.53	80.66	81.32	33.77	37.60

การหาความสัมพันธ์ถ้าใช้เดควนเดียวกัน

โดยใช้โปรแกรม SigmaPlot 11.0 ในการหาความสัมพันธ์ระหว่างเวลา ความเข้มรังสี อากาศย์ และอุณหภูมิ ณ จุดต่าง จะได้สมการ และค่าคงที่ ในการหาความสัมพันธ์

ตั้งอย่าง การใช้ระบบไอลเวียนแบบบังคับ ณ ที่เวลา 12.00 น. มีความเข้มรังสีอากาศย์เท่ากับ 805.95 W/m^2 และที่น้ำเข้าແง PV/T มีอุณหภูมิเท่ากับ 49.24°C เมื่อนำค่าต่างๆ ไปพอร์ต กราฟในโปรแกรม SigmaPlot 11.0 โดยกำหนดให้ $X = \text{เวลา}$ $Y = \text{ค่าความเข้มรังสีอากาศย์}$ $Z = \text{อุณหภูมิของน้ำเข้าແง PV/T}$ จะได้สมการ และค่าคงที่ ดังนี้

$$f = a * \exp (-0.5(((x - x_0)/b)^2 + ((y - y_0)/c)^2))$$

โดยที่ $x_0 = 0.5552$, $y_0 = 378.296$, $a = 71.6279$, $b = 0.1657$, $c = 831.3016$
เมื่อแทนค่าต่างลงในสมการจะได้

$$\begin{aligned} f &= (71.6279) * \exp (-0.5(((12.00 - 0.5552)/0.1657)^2 + ((805.95 - 378.296)/831.3016)^2)) \\ &= 50.99 \end{aligned}$$

ซึ่งค่าคงที่ 1.75°C

ตั้งอย่าง การใช้ระบบไอลเวียนแบบบังคับ ณ ที่เวลา 12.00 น. มีความเข้มรังสีอากาศย์เท่ากับ 805.95 W/m^2 และที่น้ำออกແงรับรังสี มีอุณหภูมิเท่ากับ 49.66°C เมื่อนำค่าต่างๆ ไปพอร์ต กราฟในโปรแกรม SigmaPlot 11.0 โดยกำหนดให้ $X = \text{เวลา}$ $Y = \text{ค่าความเข้มรังสีอากาศย์}$ $Z = \text{อุณหภูมิของน้ำออกແงรับรังสี}$ จะได้สมการ และค่าคงที่ ดังนี้

$$f = a * \exp (-0.5(((x - x_0)/b)^2 + ((y - y_0)/c)^2))$$

โดยที่ $x_0 = 0.6845$, $y_0 = 538.5859$, $a = 66.6832$, $b = 0.1657$, $c = 469.286$
เมื่อแทนค่าต่างลงในสมการจะได้

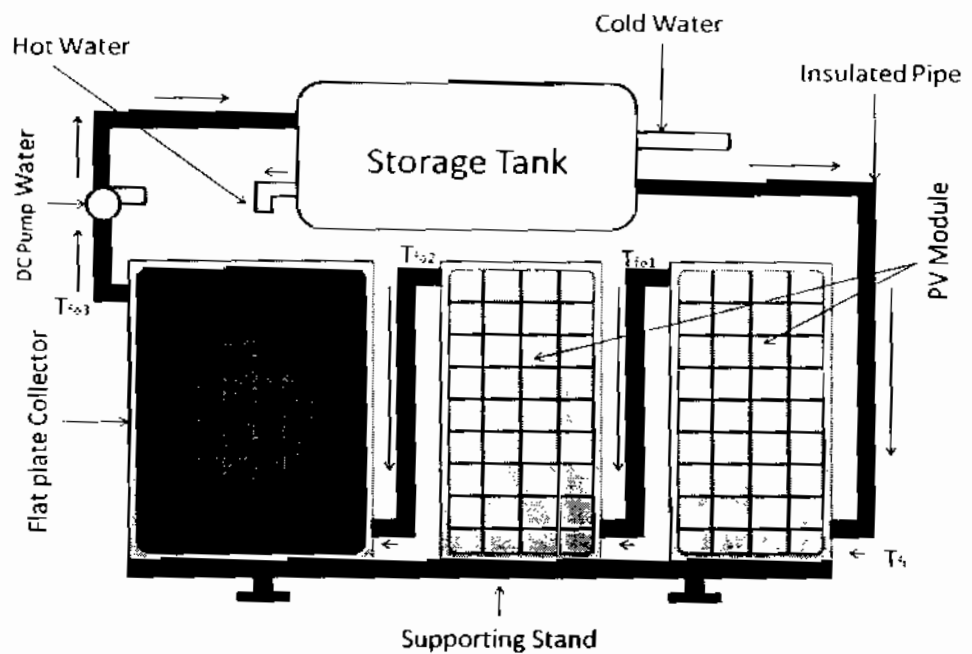
$$\begin{aligned} f &= (66.6832) * \exp (-0.5(((12.00 - 0.6845)/0.1657)^2 + ((805.95 - 538.5859)/469.286)^2)) \\ &= 48.89 \end{aligned}$$

ซึ่งค่าคงที่ 0.77°C

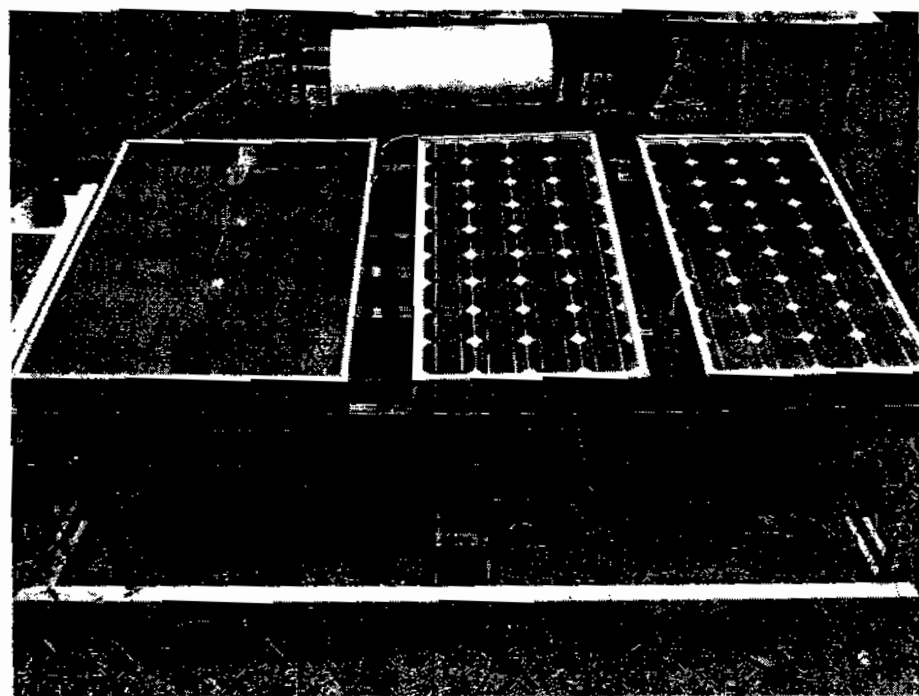
ภาคผนวก ค
ภาพประกอบการดำเนินการ

วัสดุและอุปกรณ์ในการสร้างระบบ

- 1.1 อลูมิเนียมแผ่นหนา 0.5 มม.
- 1.2 กล่องอลูมิเนียมขนาด 4×10 ซม.
- 1.3 อลูมิเนียมขนาด 2.5×4 ซม.
- 1.4 ฉากอลูมิเนียมขนาด 1×1 นิ้ว
- 1.5 ฉากอลูมิเนียมขนาด 1×10 ซม.
- 1.6 ท่อทองแดงขนาด 3 หุน
- 1.7 ท่อทองแดงขนาด 6 หุน
- 1.8 น็อตขนาด 1 หุน และ 3 หุน
- 1.9 เหล็กขนาด 1×2 นิ้ว
- 1.10 เหล็กฉากขนาด $1\frac{1}{2}$ นิ้ว x $1\frac{1}{2}$ นิ้ว
- 1.11 เหล็กแผ่นหนา 6 มม.
- 1.12 เหล็กเกร็งข่วนขนาด 6 หุน
- 1.13 ผนวนหนา 8 มม. และ 12 มม.
- 1.14 สังกะสี
- 1.15 ข้อต่อทองแดงขนาด 6 หุน
- 1.16 ข้อต่อทองเหลืองขนาด 6 หุน
- 1.17 เครื่องตัดพลาสติก
- 1.18 หินเจียร
- 1.19 เครื่องเชื่อม
- 1.20 漉ดเชื่อม
- 1.21 หน้ากากเชื่อม
- 1.22 เดือยตัดเหล็ก
- 1.23 สว่าน
- 1.24 ไนเบอร์ทัคเหล็ก 1 เมตร
- 1.25 ดอกสว่านขนาด 2, 3, 4, 5, 10 มิลลิเมตร
- 1.26 คีมปากผสม
- 1.27 ไขควง
- 1.28 กวาร์ดิกันวน
- 1.29 ปืนขิงรีเวฟ



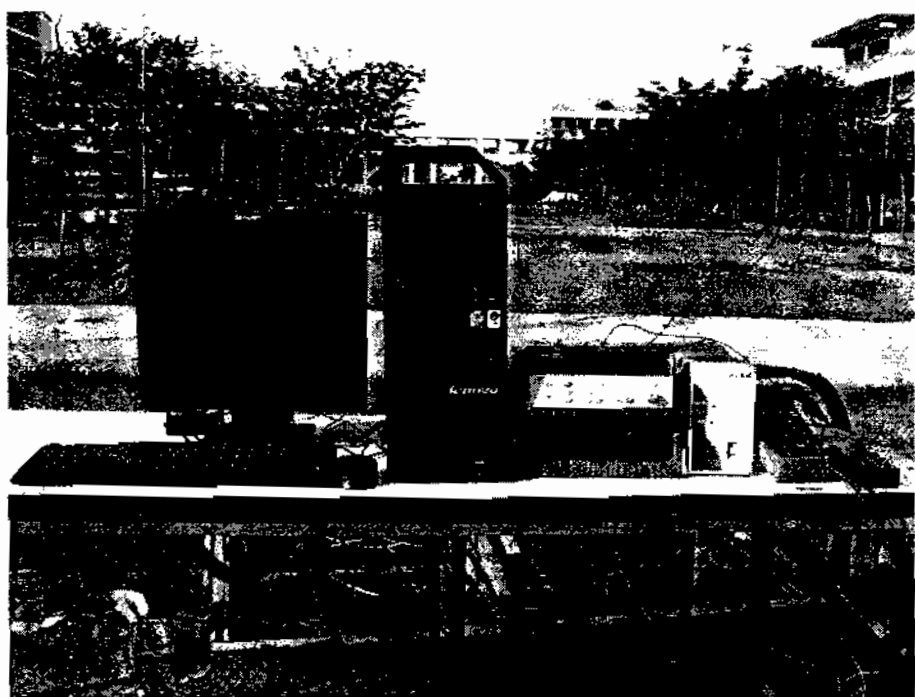
รูปการออกแบบระบบแห้ง PV/T แบบผสมผสาน



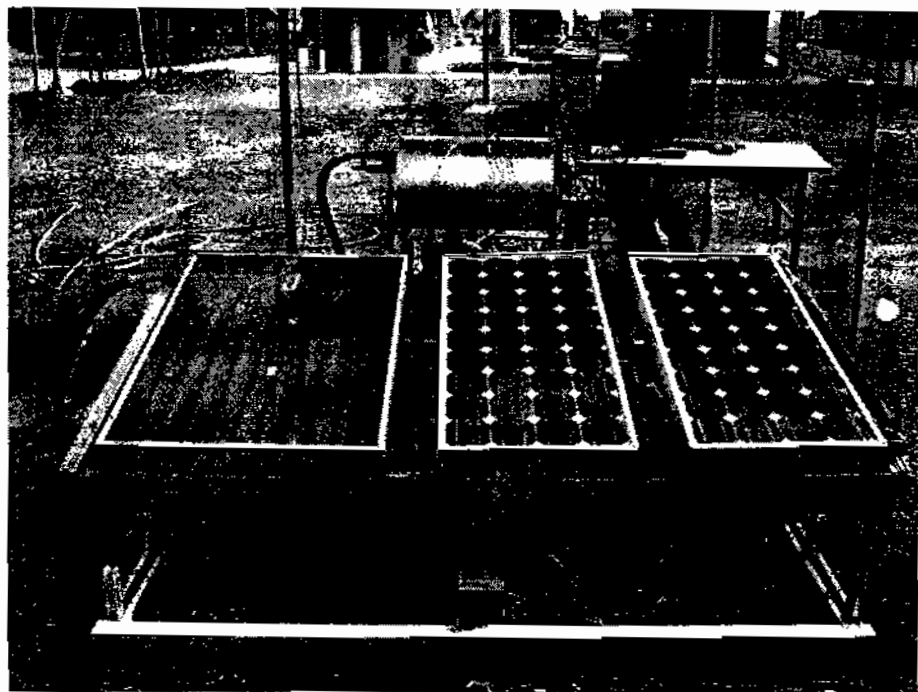
รูประบบแห้ง PV/T แบบผสมผสาน



รูปการติดตั้งอุปกรณ์หดลอง



รูปการติดตั้งอุปกรณ์หดลอง



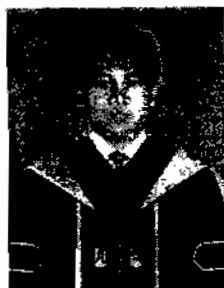
รูปการทดลองและเก็บข้อมูล

ประวัติผู้จัดทำโครงการ

ประวัติผู้จัดทำโครงการ

ชื่อ-นามสกุล	นายกิตติพงษ์ พิมพ์จันทร์
วัน/เดือน/ปีเกิด	10 สิงหาคม พ.ศ. 2530
ที่อยู่	226 หมู่ 4 ต.ช่องแมว อ.ลำทะเมนชัย จ.นครราชสีมา 30270
E-mail	samap_4@hotmail.com
โทรศัพท์	083-3541484
ประวัติการศึกษา	
พ.ศ. 2542	สำเร็จการศึกษาระดับประถมศึกษาที่โรงเรียนบ้านหนองมะเกือบ ต.ช่องแมว อ.ลำทะเมนชัย จ.นครราชสีมา
พ.ศ. 2545	สำเร็จการศึกษาระดับมัธยมศึกษาตอนต้นคืนที่โรงเรียนชุมพวงศึกษา ¹ ต.ชุมพวง อ.ชุมพวง จ.นครราชสีมา
พ.ศ. 2548	สำเร็จการศึกษาระดับมัธยมศึกษาตอนปลายที่โรงเรียนชุมพวงศึกษา ² ต.ชุมพวง อ.ชุมพวง จ.นครราชสีมา
พ.ศ. 2552	สำเร็จการศึกษาระดับปริญญาตรีวิทยาศาสตรบัณฑิต สาขาวิชาฟิสิกส์ ประยุกต์(พลังงาน) คณะวิทยาศาสตร์ มหาวิทยาลัยมหาสารคาม ต.ขามเรือง อ.กันทรลวชัย จ.มหาสารคาม

ประวัติผู้จัดทำโครงการ



ชื่อ-นามสกุล

นายทวีวุฒิ โสภังค์

วัน/เดือนปีเกิด

6 มีนาคม พ.ศ. 2530

ภูมิลำเนา

53/1 หมู่ 12 ต.ค่อนแรค อ.รัตนบุรี จ.สุรินทร์ 32130

E-mail

thweewoud@hotmail.com

โทรศัพท์

085-4663271

ประวัติการศึกษา

พ.ศ. 2542 สำเร็จการศึกษาระดับประกาศนียกศึกษาที่โรงเรียนบ้านหาญาณ
ต.ค่อนแรค อ.รัตนบุรี จ.สุรินทร์

พ.ศ. 2545 สำเร็จการศึกษาระดับมัธยมศึกษาตอนต้นที่โรงเรียนค่อนแรควิทยา
ต.ค่อนแรค อ.รัตนบุรี จ.สุรินทร์

พ.ศ. 2548 สำเร็จการศึกษาระดับมัธยมศึกษาตอนปลายที่โรงเรียนค่อนแรควิทยา
ต.ค่อนแรค อ.รัตนบุรี จ.สุรินทร์

พ.ศ. 2552 สำเร็จการศึกษาระดับปริญญาตรีวิทยาศาสตรบัณฑิต สาขาวิชาฟิสิกส์
ประยุกต์(พลังงาน) คณะวิทยาศาสตร์ มหาวิทยาลัยมหาสารคาม ต.สามเรียง อ.กันทรลิขสัย
จ.มหาสารคาม